

บทที่ 4

ผลการทดลองและการอภิปรายผล

ในบทนี้ได้กล่าวถึงผลการทดลองและอภิปรายผลการทดลอง การศึกษาการสังเคราะห์อนุภาคนาโนไทเทเนียม ได้ออกใช้ด้วยเหล็กและทองแดง สำหรับนำไปประยุกต์ใช้เป็นตัวเร่งปฏิกิริยาด้วยแสงในการย้อมสีและกระบวนการประกอบอินทรีย์ ประกอบไปด้วย ผลการสังเคราะห์อนุภาคนาโนไทเทเนียม ได้ออกใช้ด้วยเหล็กและอนุภาคนาโนไทเทเนียม ได้ออกใช้ด้วยเหล็กและทองแดง ผลการหาลักษณะเฉพาะของอนุภาคนาโนไทเทเนียม ได้ออกใช้ด้วยเหล็กและอนุภาคนาโนไทเทเนียม ได้ออกใช้ด้วยเหล็กและทองแดง ด้วยเทคนิคต่างๆ และผลการทดสอบการเร่งปฏิกิริยาด้วยแสงในการย้อมสีและกระบวนการประกอบอินทรีย์

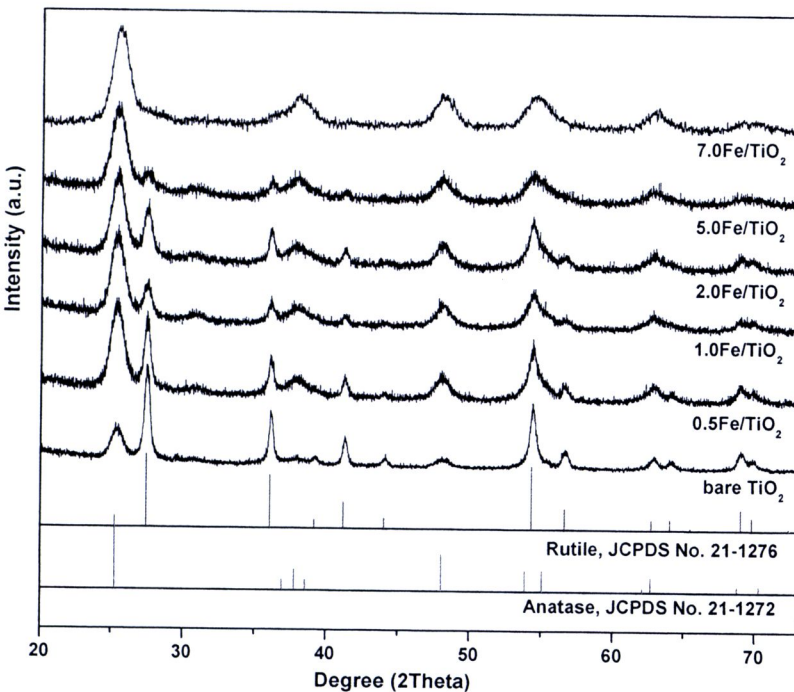
4.1 ผลการสังเคราะห์อนุภาคนาโนไทเทเนียม ได้ออกใช้ด้วยเหล็กและอนุภาคนาโนไทเทเนียม ได้ออกใช้ด้วยเหล็กและทองแดงในประมาณร้อยละโดยอะตอมต่างๆ

ตาราง 4.1 ลักษณะทางกายภาพ และน้ำหนักของอนุภาคนาโนไทเทเนียม ได้ออกใช้ด้วยเหล็กและทองแดงในประมาณร้อยละ โดยอะตอมต่างๆ

ตัวอย่าง	ลักษณะของผง
Bare TiO ₂	สีขาวเนื้อดีกวากัน
0.5 at% Fe doped TiO ₂	การเจือด้วยเหล็กปริมาณน้อยๆ ทำให้ผงมีลักษณะเป็นสีน้ำตาลอ่อนๆ และมีสีน้ำตาลเข้มขึ้นตามประมาณการเจือเหล็กที่เพิ่มขึ้น
1.0 at% Fe doped TiO ₂	
2.0 at% Fe doped TiO ₂	
5.0 at% Fe doped TiO ₂	
7.0 at% Fe doped TiO ₂	
0.5 at% Cu doped TiO ₂	การเจือด้วยทองแดงปริมาณน้อยๆ ทำให้ผงมีลักษณะเป็นสีเขียวอ่อนๆ และมีสีเขียวเข้มขึ้นตามประมาณการเจือทองแดงที่เพิ่มขึ้น
1.0 at% Cu doped TiO ₂	
2.0 at% Cu doped TiO ₂	
5.0 at% Cu doped TiO ₂	

4.2 ผลการวิเคราะห์ด้วยเทคนิคการเลี้ยวเบนรังสีเอกซ์

4.2.1 ผลการวิเคราะห์การเลี้ยวเบนรังสีเอกซ์ของอนุภาคนาโนไทเทเนียมไดออกไซด์บริสุทธิ์และอนุภาคนาโนไทเทเนียมไดออกไซด์ที่เจือด้วยเหล็ก



รูป 4.1 รูปแบบการเลี้ยวเบนด้วยรังสีเอกซ์ของไทเทเนียมไดออกไซด์บริสุทธิ์ และไทเทเนียมไดออกไซด์ที่เจือด้วยเหล็ก เผาเคลือบชั้นที่อุณหภูมิ 400 องศาเซลเซียส

จากการวิเคราะห์ด้วยเทคนิคการเลี้ยวเบนด้วยรังสีเอกซ์ของอนุภาคนาโนไทเทเนียมไดออกไซด์บริสุทธิ์และอนุภาคนาโนไทเทเนียมไดออกไซด์ที่เจือด้วยเหล็กในปริมาณต่างๆ และผ่านการเผาเคลือบชั้นที่อุณหภูมิ 400 องศาเซลเซียส พบว่ามีโครงสร้างเป็นเฟสสมรรถะว่างอะนาเทสกับรูไกล์ ทั้งสองเฟสนั้นมีโครงสร้างเป็นแบบเททระ โภนอล โดยที่ได้ผลแสงดังรูป 4.1 เมื่อนำไปเปรียบเทียบกับฐานข้อมูล Joint Committee Powder Diffraction Standards, JCPDS file ปรากฏว่าโครงสร้างเฟสอะนาเทสตรงกับ JCPDS file หมายเลข 21-1272 โดยมีพีคหลักชันที่ตำแหน่ง 2θ เท่ากับ 25.28 และ 48.05 ซึ่งตรงกับระนาบ (101) และ (200) ตามลำดับ ส่วนโครงสร้างเฟสรูไกล์เมื่อตรวจสอบแล้วพบว่าตรงกับ JCPDS file หมายเลข 21-1276 โดยมีพีคหลักชันที่ตำแหน่ง 2θ เท่ากับ 27.45 และ 36.09 ซึ่งตรงกับระนาบ (110) และ (101) ตามลำดับ

ตาราง 4.2 ความสัมพันธ์ระหว่างการเจือด้วยเหล็กที่ปริมาณต่างๆ กับค่ามุม 2θ

ตัวอย่าง	ค่ามุม 2θ (degree) ของรูบนาบทลัก			
	Anatase (101)	Anatase (200)	Rutile (110)	Rutile (101)
Standard	25.28	48.05	27.45	36.09
Bare TiO ₂	25.28	48.01	27.45	36.22
0.5Fe/TiO ₂	25.32	47.93	27.56	36.06
1.0Fe/TiO ₂	25.41	47.77	27.54	36.11
2.0Fe/TiO ₂	25.46	47.96	27.53	36.02
5.0Fe/TiO ₂	25.29	47.98	27.47	37.91
7.0Fe/TiO ₂	25.34	48.02	-	-

ตาราง 4.3 การเปลี่ยนแปลงปริมาตรหน่วยเซลล์ของโครงสร้างเฟสของไไทเทเนียมไดออกไซด์บริสุทธิ์ และไไทเทเนียมไดออกไซด์ที่เจือด้วยเหล็ก

ตัวอย่าง	ผลทิชพารามิเตอร์(nm) (Anatase)		ปริมาตร หน่วยเซลล์ (nm ³)	ผลทิชพารามิเตอร์ (nm) (Rutile)		ปริมาตร หน่วยเซลล์ (nm ³)
	a	c		a	c	
Standard	3.785	9.513	136.3	4.593	2.959	62.43
Bare TiO ₂	3.778	9.548	136.3	4.594	2.957	62.40
0.5Fe/TiO ₂	3.783	9.527	136.3	4.595	2.957	62.45
1.0Fe/TiO ₂	3.785	9.532	136.5	4.599	2.959	62.58
2.0Fe/TiO ₂	3.795	9.491	136.7	4.62	2.9	61.96
5.0Fe/TiO ₂	3.782	9.516	136.2	4.596	2.96	62.53
7.0Fe/TiO ₂	3.781	9.52	136.1	4.594	2.9578	62.43

จากการตรวจสอบพีคหลักของทั้งโครงสร้างอะนาเทสและรูทิลเทียบกับข้อมูลมาตรฐาน (Standard ; Anatase = JCPDS no. 21-1072, Rutile = JCPDS no. 21-1076) พบว่าพีคหลักนั้นเกิดการเปลี่ยนแปลงตำแหน่งค่ามุม 2θ ซึ่งอาจจะเป็นผลมาจากการเจือด้วยเหล็กในปริมาณต่างๆ เนื่องจากรัศมีอ่อนของอะตอมเหล็กและไไทเทเนียมนั้นใกล้เคียงกัน คือ รัศมีอ่อนของอะตอม

เหล็กเท่ากับ 0.156 nm และรัศมีอิອนของอะตอมไทเทเนียมเท่ากับ 0.176 nm ซึ่งอะตอมของเหล็กนั้นสามารถเข้าไปแทนที่อะตอมของไทเทเนียมได้ การเปลี่ยนแปลงตำแหน่งพีคหลักนั้นเป็นผลเนื่องมาจากการเปลี่ยนแปลงแลบทิชพารามิเตอร์ a และ แลบทิชพารามิเตอร์ c ในโครงสร้างเตตราหินออลของไทเทเนียมไดออกไซด์ ซึ่งส่งผลทำให้ปริมาตรหน่วยเซลล์ในโครงสร้างของไทเทเนียมไดออกไซด์บิสุทธิ์และไทเทเนียมไดออกไซด์ที่เจือด้วยเหล็กนั้นมีปริมาตรที่เปลี่ยนแปลงไปด้วย

ตาราง 4.4 องค์ประกอบอนเฟส และขนาดผลึกของไทเทเนียมไดออกไซด์บิสุทธิ์ และไทเทเนียมไดออกไซด์ที่เจือด้วยเหล็ก แคลไซน์ที่อุณหภูมิ 400 องศาเซลเซียส

ตัวอย่าง	ขนาดผลึกเฉลี่ย (nm)		องค์ประกอบอนเฟส (wt%)	
	อะนาเกส ระยะ (101)	รูไกล์ ระยะ (110)	อะนาเกส	รูไกล์
bare TiO ₂	9.0	17.9	33.40	66.60
0.5 at.% Fe-doped TiO ₂	8.5	16.4	75.20	24.80
1.0 at.% Fe-doped TiO ₂	8.4	16.8	81.45	18.45
2.0 at.% Fe-doped TiO ₂	8.9	13.4	86.30	13.70
5.0 at.% Fe-doped TiO ₂	8.1	20.1	89.99	10.01
7.0 at.% Fe-doped TiO ₂	8.2	19.7	90.80	9.20

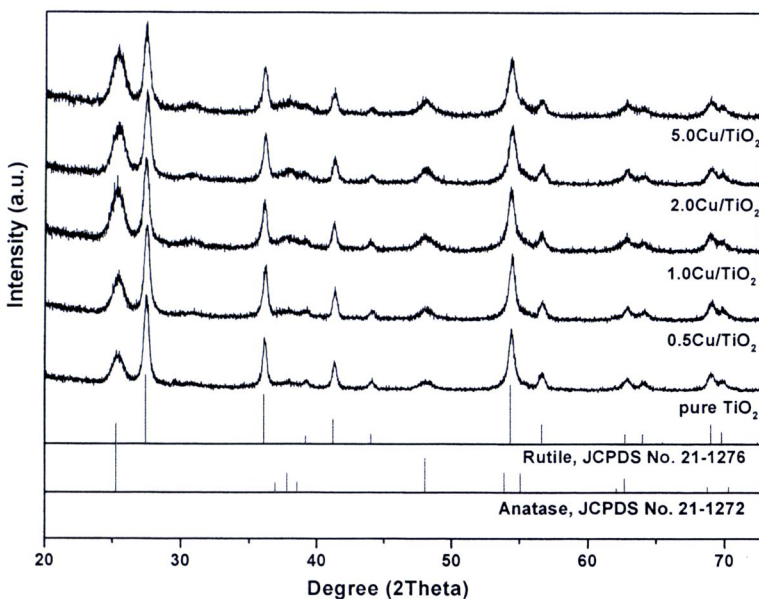
ตาราง 4.4 แสดงองค์ประกอบอนเฟส และขนาดผลึกของไทเทเนียมไดออกไซด์บิสุทธิ์ และไทเทเนียมไดออกไซด์ที่เจือด้วยเหล็ก จากการวิเคราะห์ขนาดผลึกโดยคำนวณจากสมการของ Scherrer ดังสมการที่ 3.1 พนบ่วงโครงสร้างอะนาเกสเมื่อขนาดผลึกเฉลี่ยใกล้เคียงกันที่ 8.1–9.0 นาโนเมตร การเจือด้วยเหล็กทำให้ผลึกของอะนาเกสเมื่อขนาดเล็กลง โดยที่ตัวอย่างของ 5.0 at.% Fe-doped TiO₂ มีขนาดผลึกอะนาเกสเฉลี่ยเล็กที่สุดเท่ากับ 8.1 นาโนเมตร ส่วนขนาดผลึกของเฟสรูไกล์เฉลี่ยนี้มีขนาดอยู่ในช่วง 13.4–20.1 นาโนเมตร และพบว่าขนาดผลึกรูไกล์เฉลี่ยของตัวอย่าง 5.0 at% Fe-doped TiO₂ มีขนาดใหญ่ที่สุดเท่ากับ 20.1 นาโนเมตร

จากรูปแบบการเรียบเรียงด้วยรังสีเอกซ์จะสังเกตได้ว่าลักษณะพีค มีความเข้มต่ำแสดงให้เห็นว่ามีความเป็นผลึกต่ำ แต่ฐานของพีคกว้างแสดงให้เห็นว่ามีขนาดผลึกที่เล็ก ดังที่สังเกตได้จาก

รูปแบบการเลี้ยวเบนด้วยรังสีเอกซ์ของเฟสอะนาเทสในรัฐบาล (101) เมื่อปริมาณการเจือด้วยเหล็กที่เพิ่มขึ้นทำให้ฐานพิกนั้นกว้างขึ้น ขนาดผลึกมีขนาดที่เล็กลง และมีความเข้มพิคที่เพิ่มขึ้นเมื่อเพิ่มปริมาณการเจือด้วยเหล็ก แสดงให้เห็นว่าการเจือด้วยเหล็กในปริมาณที่เพิ่มขึ้น ทำให้ความเป็นผลึกสูงขึ้นด้วย ซึ่งเป็นไปตามสมการที่ของ Scherrer

องค์ประกอบเฟลซิ่งเป็นการวิเคราะห์อัตราส่วนของปริมาณเฟสอะนาเทสและเฟส+rูไทล์ที่เกิดขึ้น โดยองค์ประกอบเฟสนี้วิเคราะห์จากวิธี Rietveld refinement และพบว่าไทเทเนียมไดออกไซด์ที่เจือด้วยเหล็กในปริมาณที่เพิ่มขึ้น จะทำให้ปริมาณเฟสอะนาเทสเพิ่มขึ้นด้วยในขณะที่ปริมาณเฟส+rูไทล์ลดลง ดังนั้นอาจเป็นไปได้ว่าการเจือด้วยเหล็กเข้าไปในไทเทเนียมไดออกไซด์นั้นไปบัดขวางการเกิดขึ้นของเฟส+rูไทล์

4.2.2 ผลการวิเคราะห์การเลี้ยวเบนรังสีเอกซ์ของอนุภาคนาโนไทเทเนียมไดออกไซด์บริสุทธิ์และอนุภาคนาโนไทเทเนียมไดออกไซด์ที่เจือด้วยทองแดง



รูป 4.2 รูปแบบการเลี้ยวเบนด้วยรังสีเอกซ์ของไทเทเนียมไดออกไซด์บริสุทธิ์ และไทเทเนียมไดออกไซด์ที่เจือด้วยทองแดง เพาแคลไชน์ที่อุณหภูมิ 400 องศาเซลเซียส

จากการวิเคราะห์ด้วยเทคนิคการเลี้ยวเบนด้วยรังสีเอกซ์ของอนุภาคนาโนไทเทเนียมไดออกไซด์บริสุทธิ์และอนุภาคนาโนไทเทเนียมไดออกไซด์ที่เจือด้วยทองแดงในปริมาณต่างๆ และผ่านการเพาแคลไชน์ที่อุณหภูมิ 400 องศาเซลเซียส เป็นเวลา 3 ชั่วโมง พบร่วมโครงสร้างเป็นเฟส

ผสมระหว่างอะนาเฟสกับรูปแบบของโครงสร้างเป็นแบบเตตระโภโนอล โดยที่ได้ผลแสงดังรูป 4.2 เมื่อนำไปเปรียบเทียบกับฐานข้อมูล Joint Committee Powder Diffraction Standards, JCPDS file ปรากฏว่าโครงสร้างเฟสอะนาเฟสตรงกับ JCPDS file หมายเลข 21-1272 โดยมีพิกัด각ขีนที่ตำแหน่ง 2θ เท่ากับ 25.28 และ 48.05 ซึ่งตรงกับระนาบ (101) และ (200) ตามลำดับ ส่วนโครงสร้างเฟสรูปไพล์เมื่อตรวจสอบแล้วพบว่าตรงกับ JCPDS file หมายเลข 21-1276 โดยมีพิกัด각ขีนที่ตำแหน่ง 2θ เท่ากับ 27.45 และ 36.09 ซึ่งตรงกับระนาบ (110) และ (101) ตามลำดับ ทั้งสองเฟสมี JCPDS file หมายเลขที่ตรงกับในการนี้ของการเจือด้วยเหล็ก

ตาราง 4.5 ความสัมพันธ์ระหว่างการเจือด้วยทองแดงที่ปริมาณต่างๆ กับค่ามุม 2θ

ตัวอย่าง	ค่ามุม 2θ (degree) ของระนาบหลัก			
	Anatase (101)	Anatase (200)	Rutile (110)	Rutile (101)
Standard	25.28	48.05	27.45	36.09
Bare TiO ₂	25.29	48.01	27.45	36.22
0.5 at% Cu doped TiO ₂	25.50	48.08	27.45	36.20
1.0 at% Cu doped TiO ₂	25.35	47.93	27.43	36.17
2.0 at% Cu doped TiO ₂	25.55	48.02	27.45	36.15
5.0 at% Cu doped TiO ₂	25.35	48.09	27.42	36.12

ตาราง 4.6 การเปลี่ยนแปลงปริมาตรหน่วยเซลล์ของโครงสร้างเฟสของไบทเนียมไดออกไซด์บริสุทธิ์ และไบทเนียมไดออกไซด์ที่เจือด้วยทองแดง

ตัวอย่าง	ผลทิชพารามิเตอร์(nm) (Anatase)		ปริมาตร หน่วยเซลล์ (nm ³)	ผลทิชพารามิเตอร์(nm) (Rutile)		ปริมาตร หน่วยเซลล์ (nm ³)
	a	c		a	c	
Standard	3.785	9.514	136.3	4.593	2.959	62.43
Bare TiO ₂	3.778	9.548	136.3	4.594	2.957	62.40
0.5Cu/TiO ₂	3.777	9.547	136.2	4.594	2.956	62.37
1.0Cu/TiO ₂	3.776	9.543	136.1	4.594	2.955	62.36
2.0Cu/TiO ₂	3.779	9.538	136.2	4.594	2.957	62.41
5.0Cu/TiO ₂	3.777	9.544	136.1	4.593	2.955	62.35

จากการตรวจสอบพีคหลักของหั่ง โครงสร้างอะนาเทสและรูไกล์เทียบกับข้อมูลมาตรฐาน (Standard ; Anatase = JCPDS no. 21-1272, Rutile = JCPDS no. 21-1276) พบว่าพีคหลักนั้นเกิดการเปลี่ยนแปลงตำแหน่งค่ามุน 2θ ซึ่งอาจจะเป็นผลมาจากการเจือด้วยทองแดงในปริมาณต่างๆ เนื่องจากรัศมีอะตอมของทองแดงและไทเทเนียมนั้นใกล้เคียงกัน คือ รัศมีอะตอมของอะตอมทองแดงเท่ากับ 0.154 nm และรัศมีอะตอมของอะตอมไทเทเนียมเท่ากับ 0.176 nm ซึ่งอะตอมของเหล็กนั้นสามารถเข้าไปแทนที่อะตอมของไทเทเนียมได้ แต่การแทนที่กันของอะตอมทองแดงกับอะตอมไทเทเนียมจะยากกว่าในกรณีของการเจือด้วยเหล็ก เพราะว่ารัศมีอะตอมของอะตอมเหล็กกับรัศมีอะตอมของอะตอมไทเทเนียมนั้นมีความใกล้เคียงกันมากกว่า การเปลี่ยนแปลงตำแหน่งพีคหลักนั้นมีผลมาจากมีการเปลี่ยนแปลงเลขทิชพารามิเตอร์ a และเลขทิชพารามิเตอร์ c ในโครงสร้างแบบเทหะระgonolของไทเทเนียม ได้ออกไซด์ และส่งผลทำให้ปริมาตรหัวใจเซลล์ในโครงสร้างของไทเทเนียม ได้ออกไซด์นั้นมีปริมาตรที่เปลี่ยนแปลงไปด้วย

ตาราง 4.7 องค์ประกอบเฟส ขนาดผลึก และพื้นที่ผิวจำเพาะของไทเทเนียม ได้ออกไซด์บิสูทที่ แคด ไซน์ที่อุณหภูมิ 400°C องศาเซลเซียส

ตัวอย่าง	ขนาดผลึกเฉลี่ย (nm)		องค์ประกอบเฟส (wt%)	
	อะนาเทส ระยะ (101)	รูไกล์ ระยะ (110)	อะนาเทส	รูไกล์
bare TiO_2	9.0	17.9	33.40	66.60
0.5 at.% Cu-doped TiO_2	9.1	17.4	37.00	63.00
1.0 at.% Cu-doped TiO_2	8.7	16.8	42.27	57.73
2.0 at.% Cu-doped TiO_2	9.0	15.6	53.90	46.10
5.0 at.% Cu-doped TiO_2	9.0	15.4	57.50	42.50

จากตาราง 4.7 แสดงองค์ประกอบเฟส และขนาดผลึกของไทเทเนียม ได้ออกไซด์บิสูทที่ และไทเทเนียม ได้ออกไซด์ที่เจือด้วยทองแดง พบว่า โครงสร้างอะนาเทสมีขนาดผลึกเฉลี่ยอยู่ในช่วง $8.7\text{--}9.1$ นาโนเมตร การเจือด้วยทองแดงทำให้ผลึกของอะนาเทสมีขนาดเปลี่ยนแปลงที่น้อยมาก ส่วนขนาดผลึกของเฟสรูไกล์เฉลี่ยนั้นมีขนาดเปลี่ยนแปลงที่ในช่วง $15.4\text{--}21.9$ นาโนเมตร และพบว่า ขนาดผลึกรูไกล์เฉลี่ยของตัวอย่าง 5.0 at% Fe-doped TiO_2 มีขนาดใหญ่ที่สุดเท่ากับ 20.1 นาโนเมตร

จากรูปแบบการเลี้ยงเบนคัวบังสีเอกซ์จะสังเกตได้ว่าลักษณะพิเศษมีความเข้มต่ำแสดงให้เห็นว่ามีความเป็นผลึกต่ำ แต่ฐานของพิเศษก็จะแสดงให้เห็นว่ามีขนาดผลึกที่เล็ก ดังที่สังเกตได้จากรูปแบบการเลี้ยงเบนคัวบังสีเอกซ์ของเฟสอะนาเทสในรูปแบบ (101) เมื่อปริมาณการเจือด้วยทองแดงที่เพิ่มขึ้นฐานพิเศษนั้นมีความกว้างเท่าเดิม แสดงให้เห็นว่าขนาดผลึกมีขนาดใกล้เคียงกัน และมีความเข้มพิเศษที่เพิ่มขึ้นเมื่อเพิ่มปริมาณการเจือด้วยทองแดง แสดงให้เห็นว่าการเจือด้วยเหล็กในปริมาณที่เพิ่มขึ้น ทำให้ความเป็นผลึกสูงขึ้นด้วย ในขณะที่ความเข้มพิเศษของเฟสรูไทล์ในรูปแบบ (200) มีความเข้มพิเศษใกล้เคียงกันทั้งหมด แสดงให้เห็นว่ามีความเป็นผลึกใกล้เคียงกัน แต่ฐานพิเศษนั้น กว้างขึ้นเมื่อเพิ่มปริมาณการเจือด้วยทองแดงที่เพิ่มขึ้น ซึ่งแสดงให้เห็นว่าการเจือด้วยทองแดงที่ปริมาณเพิ่มขึ้นทำให้ขนาดของผลึกเล็กลงด้วย

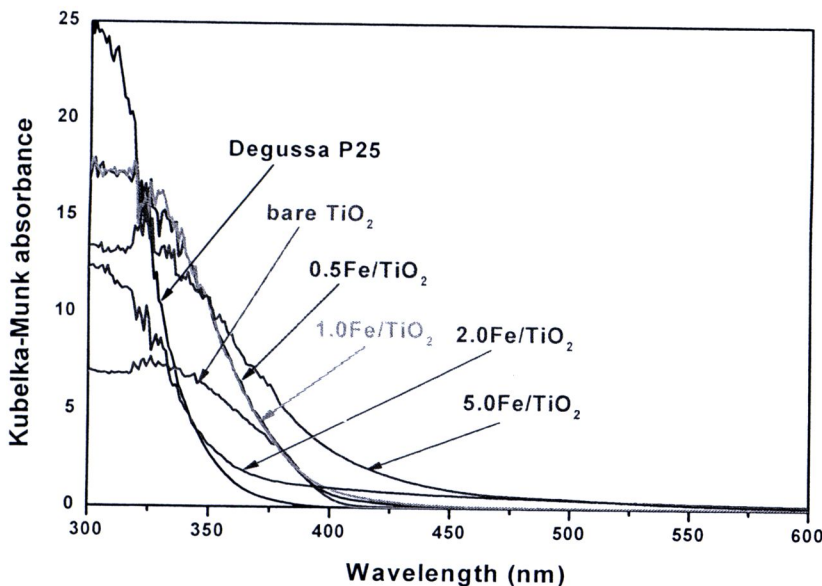
จากการวิเคราะห์องค์ประกอบเฟสคัวบังสี Rietveld refinement พบว่าไทเทเนียมไดออกไซด์ที่เจือด้วยทองแดงในปริมาณที่เพิ่มขึ้น จะทำให้ปริมาณเฟสอะนาเทสเพิ่มขึ้นด้วยในขณะที่ปริมาณเฟสรูไทล์ลดลง ดังนั้นอาจเป็นไปได้ว่าการเจือด้วยทองแดงเข้าไปในไทเทเนียมไดออกไซด์นั้นทำให้เกิดการต่อต้านการเกิดขึ้นของเฟสรูไทล์ แต่เมื่อเปรียบเทียบกับกรณีของการเจือด้วยเหล็กนั้น การลดลงขององค์ประกอบเฟสรูไทล์จากการเจือด้วยทองแดงเกิดขึ้นน้อยกว่า

4.3 ผลการวิเคราะห์โดยเทคนิค UV-vis diffuse reflectance spectrophotometry (UV-vis DRS)

4.3.1 ผลการวิเคราะห์โดยเทคนิค UV-vis DRS ของไทเทเนียมไดออกไซด์บริสุทธิ์ และไทเทเนียมไดออกไซด์ที่เจือด้วยเหล็ก แคลไซน์ที่อุณหภูมิ 400 องศาเซลเซียส และไทเทเนียมไดออกไซน์ทางการค้า (Degussa P25)

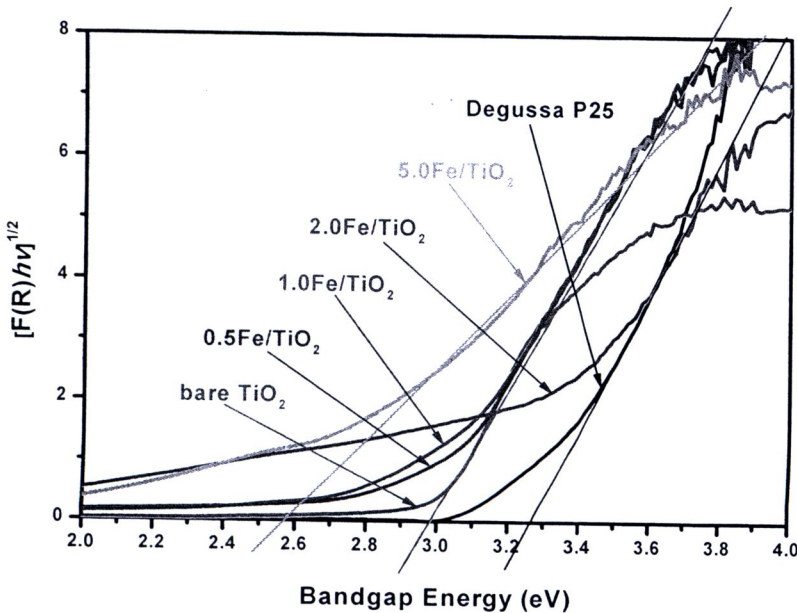
ช่วงของการดูดกลืนแสงของตัวอย่างหาได้จากการสร้างกราฟความสัมพันธ์ระหว่างฟังก์ชันของ Kubelka-Munk จากสมการ 3.2 และความยาวคลื่น โดยให้ฟังก์ชันของ Kubelka-Munk เป็นแกน y และความยาวคลื่นเป็นแกน x จากนั้นลากเส้นสัมผัสตัดแกน x ที่ $y = 0$ ซึ่งค่าการดูดกลืนแสงของสารตัวอย่างประมาณได้จากความยาวคลื่นที่เส้นสัมผัสตัดผ่าน ส่วนการหาแบบช่องว่างพลังงานหาได้จากการสร้างกราฟความสัมพันธ์ระหว่างสมการ 3.4 และสมการ 3.5 จากนั้น โดยให้สมการ 3.4 เป็นแกน y และสมการ 3.5 เป็นแกน x จากนั้nlากเส้นสัมผัสตัดแกน x ที่ $y = 0$ ซึ่งแบบช่องว่างพลังงานของตัวอย่างประมาณได้จากความยาวคลื่นที่เส้นสัมผัสตัดผ่าน การหาค่าการดูดกลืนแสงของตัวอย่างจากความฟังก์ชันของ Kubelka-Munk จะคลาดเคลื่อนจากความจริงเนื่องจากในการทดลองด้วยเครื่อง UV-vis DRS อิเล็กตรอนบางส่วนมี

การสูญเสียพลังงานจึงไม่สามารถเปลี่ยนมาเป็นพลังงานไฟฟ์ตอนได้ทั้งหมด ดังนั้นค่าการดูดกลืนแสงที่ถูกต้องสามารถหาได้โดยใช้แบบซ่องว่างพลังงานคำนวณโดยใช้สมการ 3.5



รูป 4.3 สเปกตรัมการดูดกลืนแสงของไทด์เนียมไดออกไซด์บริสุทธิ์ ไทด์เนียมไดออกไซด์ที่เจือด้วยเหล็ก และไทด์เนียมไดออกไซน์ทางการค้า (Degussa P25)

รูป 4.3 แสดงสเปกตรัมการดูดกลืนแสงของไทด์เนียมไดออกไซด์บริสุทธิ์ ไทด์เนียมไดออกไซด์ที่เจือด้วยเหล็ก และไทด์เนียมไดออกไซน์ทางการค้า (Degussa P25) ช่วงของการดูดกลืนแสงสามารถหาได้โดยลากเส้นสัมผัสของแต่ละสเปกตรัมจากความสัมพันธ์ระหว่างความยาวคลื่นกับ Kubelka-Munk absorbance โดยทั่วไปไทด์เนียมไดออกไซด์จะดูดกลืนแสงในช่วงของแสงญี่วีที่ความยาวคลื่นต่ำกว่า 400 นาโนเมตร จากผลการทดลอง พบว่าไทด์เนียมไดออกไซด์ทางการค้า (Degussa P25) ดูดกลืนแสงที่ความยาวคลื่นประมาณ 350 นาโนเมตร ซึ่งดูดกลืนแสงอยู่ในช่วงของแสงญี่วีอย่างชัดเจน ไทด์เนียมไดออกไซด์บริสุทธิ์ดูดกลืนแสงที่ความยาวคลื่นประมาณ 415 นาโนเมตร ซึ่งเป็นความยาวคลื่นที่เข้าใกล้ความยาวคลื่นของแสงวิสิเบิล ส่วนไทด์เนียมไดออกไซด์ที่เจือด้วยเหล็กนั้นดูดกลืนแสงในช่วงของแสงวิสิเบิล ยกเว้นตัวอย่างไทด์เนียมไดออกไซด์ที่เจือด้วยเหล็กร้อยละ 2.0 โดยจะต้องดูดกลืนแสงที่ความยาวคลื่นประมาณ 370 นาโนเมตร ซึ่งอยู่ในช่วงของแสงญี่วี ตัวอย่างที่มีการดูดกลืนแสงในช่วงของแสงวิสิเบิลที่ความยาวคลื่นสูงที่สุด คือไทด์เนียมไดออกไซด์ที่เจือด้วยเหล็กร้อยละ 5.0 โดยจะต้องดูดกลืนแสงที่ความยาวคลื่นประมาณ 430 นาโนเมตร



รูป 4.4 สเปกตรัมการหาແບບช่องว่างพลังงานของไทเทเนียมไดออกไซด์บริสุทธิ์ไทเทเนียมไดออกไซด์ที่เจือด้วยเหล็ก และไทเทเนียมไดออกไซน์ทางการค้า (Degussa P25)

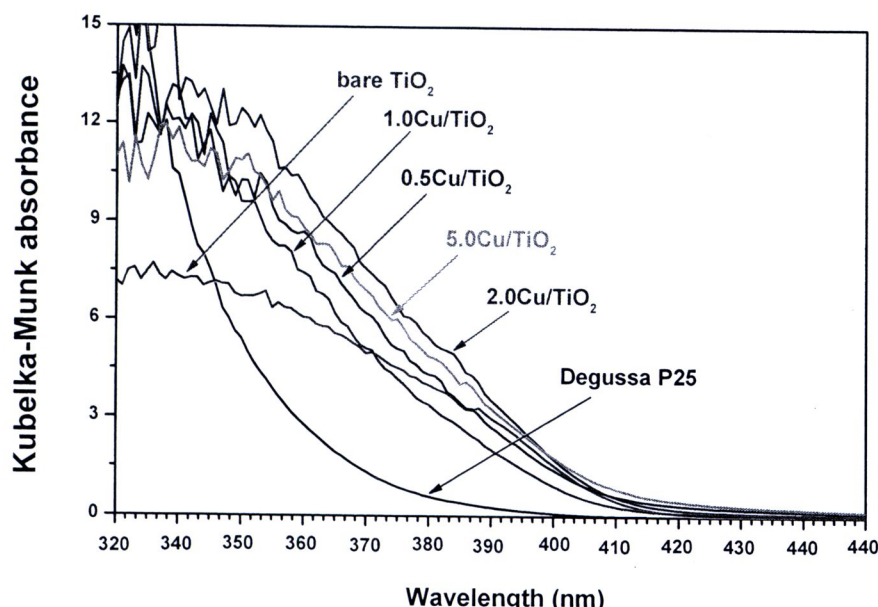
ແບບช่องว่างพลังงานหาได้โดยการลากเส้นสัมผัสของแต่ละสเปกตรัมจากความสัมพันธ์ระหว่าง Bandgap energy (eV) กับ $[F(R_\infty)h\nu]^{1/2}$ ซึ่งแสดงดังรูป 4.4 และตาราง 4.8 จากการทดลองตัวอย่างของไทเทเนียมไดออกไซด์ที่เจือด้วยเหล็กร้อยละ 5.0 โดยจะต้องให้ค่าແບບช่องว่างพลังงานที่ต่ำสุดคือประมาณ 2.56 eV ซึ่งมีແບບช่องว่างพลังงานที่ต่ำกว่าไทเทเนียมไดออกไซด์บริสุทธิ์ และไทเทเนียมไดออกไซด์ทางการค้า (Degussa P25)

ตาราง 4.8 ค่าการดูดกลืนแสงและແບບช่องว่างพลังงานของไทเทเนียมไดออกไซด์บริสุทธิ์ไทเทเนียมไดออกไซด์ที่เจือด้วยเหล็ก และไทเทเนียมไดออกไซน์ทางการค้า (Degussa P25)

ตัวอย่าง	ความยาวคลื่น (nm)	ແບບช่องว่างพลังงาน (eV)
Degussa P25	~384	~3.23
Bare TiO ₂	~415	~2.99
0.5 at.% Fe-doped TiO ₂	~414	~3.00
1.0 at.% Fe-doped TiO ₂	~414	~3.00
2.0 at.% Fe-doped TiO ₂	~376	~3.30
5.0 at.% Fe-doped TiO ₂	~485	~2.56

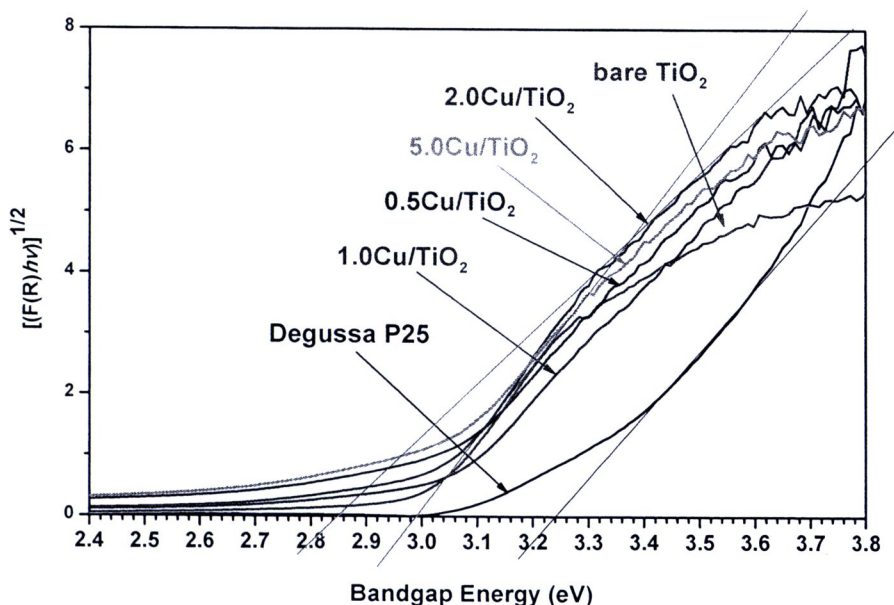
จากความสำพันที่ระหว่างการดูดกลืนแสงในช่วงความยาวคลื่นต่างๆ กับแบบช่องว่าง พลังงาน ของไทเทเนียม ไดออกไซด์บริสุทธิ์ ไทเทเนียม ไดออกไซด์ที่เจือด้วยเหล็ก และไทเทเนียม ไดออกไซด์ทั่งการค้า (Degussa P25) แสดงให้เห็นว่าการเจือด้วยเหล็กนั้นสามารถช่วยให้มีการ ดูดกลืนแสงในช่วงของแสงวิศิเบิล และมีแบบช่องว่างพลังงานที่ต่ำลง จึงคาดได้ว่าไทเทเนียม ได ออกไซด์ที่เจือด้วยเหล็กนั้นจะสามารถนำไปประยุกต์ใช้เป็นตัวเร่งปฏิกิริยาด้วยแสง ได้ดีกว่า ไทเทเนียม ไดออกไซด์บริสุทธิ์ และไทเทเนียม ไดออกไซด์ทั่งการค้า การที่มีแบบช่องว่างพลังงาน ที่ต่ำกว่าจะเป็นข้อได้เปรียบสำคัญตัวเร่งปฏิกิริยาด้วยแสง เนื่องจากใช้พลังงานแสงที่ต่ำกว่าในการ ระบายความอิเล็กตรอนแล้วเกิดปฏิกิริยา ในทางกลับกันตัวเร่งปฏิกิริยาที่มีแบบช่องว่างพลังงานที่สูง นั้นจึงจำเป็นต้องใช้พลังงานแสงที่สูงจึงสามารถทำให้เกิดปฏิกิริยาได้

4.3.2 ผลการวิเคราะห์โดยเทคนิค UV-vis DRS ของไทเทเนียม ไดออกไซด์บริสุทธิ์ และ ไทเทเนียม ไดออกไซด์ที่เจือด้วยทองแดง แคลไชน์ที่อุณหภูมิ 400 องศาเซลเซียส และไทเทเนียม ได ออกไซน์ทั่งการค้า (Degussa P25)



รูป 4.5 สเปกตรัมการดูดกลืนแสงของไทเทเนียม ไดออกไซด์บริสุทธิ์ ไทเทเนียม ได ออกไซด์ที่เจือด้วยทองแดง และไทเทเนียม ไดออกไซน์ทั่งการค้า (Degussa P25)

จากรูป 4.5 แสดงスペกตรัมการคุณภาพลีนแสงของไทด์เนียม ไดออกไซด์บิริสุทท์ ไทด์เนียม ไดออกไซด์ที่เจือด้วยทองแดง และ ไทด์เนียม ไดออกไซน์ทางการค้า (Degussa P25) ช่วงของการคุณภาพลีนแสงสามารถหาได้ด้วยวิธีเดียวกันกับกรณีของไทด์เนียม ไดออกไซด์ที่เจือด้วยเหล็ก จากผลการทดลอง พบว่า ไทด์เนียม ไดออกไซด์ทางการค้า (Degussa P25) คุณภาพลีนแสงที่ความยาวคลื่น 350 นาโนเมตร ซึ่งคุณภาพลีนแสงอยู่ในช่วงของแสงญี่วอ่ย่างชัดเจน ไทด์เนียม ไดออกไซด์บิริสุทท์ คุณภาพลีนแสงที่ความยาวคลื่นประมาณ 415 นาโนเมตร ซึ่งเป็นความยาวคลื่นที่เข้าใกล้ความยาวคลื่นของแสงวิสิเบิล ส่วน ไทด์เนียม ไดออกไซด์ที่เจือด้วยทองแดงนั้น คุณภาพลีนแสงในช่วงของแสงวิสิเบิลที่ความยาวคลื่นประมาณ 400–420 นาโนเมตร ตัวอย่างที่มีการคุณภาพลีนแสงในช่วงของแสงวิสิเบิลที่ความยาวคลื่นสูงที่สุด คือ ไทด์เนียม ไดออกไซด์ที่เจือด้วยทองแดงร้อยละ 2.0 โดยจะต้องคุณภาพลีนแสงที่ความยาวคลื่นประมาณ 420 นาโนเมตร



รูป 4.6 สเปกตรัมการหาແຄນช່ອງວ່າງພລັງຈານຂອງ ไทด์เนียม ไດອກไซດ์บີຣິສຸທົ່ງ ไทด์เนียม ไດອກไซด์ที่เจือด้วยทองแดง และ ไทด์เนียม ไດອກไซน์ทางการค้า (Degussa P25)

รูป 4.6 แสดงスペกตรัมการหาແຄນช່ອງວ່າງພລັງຈານຂອງตัวเร่งปฏີຍາຄ້ວຍແສງ และ สามารถสรุปค่าของແຄນช່ອງວ່າງພລັງຈານຂອງແຕ່ລະຕัวอย่างໄດ້ ดังตาราง 4.9 จากการทดลอง ตัวอย่างของ ไทด์เนียม ไಡອກไซด์ที่เจือด้วยทองแดงร้อยละ 2.0 โดยจะต้องให้ค่าແຄນช່ອງວ່າງພລັງຈານที่ตໍາສຸດຄືປະມາມານ 2.82 eV ซึ่งມີແຄນช່ອງວ່າງພລັງຈານທີ່ຕໍ່ກ່າວ່າ ไทด์เนียม ไಡອກไซด์ບີຣິສຸທົ່ງ และ ไทด์เนียม ไಡອກไซด์ทางการค้า (Degussa P25)

ตาราง 4.9 ค่าการดูดกลืนแสงและแถบช่องว่างพลังงานของไทเทเนียมไดออกไซด์บริสุทธิ์ไทเทเนียมไดออกไซด์ที่เจือด้วยทองแดง และไทเทเนียมไดออกไซด์ทางการค้า (Degussa P25)

ตัวอย่าง	ความยาวคลื่น (nm)	แถบช่องว่างพลังงาน (eV)
Degussa P25	~384	~3.23
Bare TiO ₂	~415	~2.99
0.5 at.% Cu-doped TiO ₂	~428	~2.90
1.0 at.% Cu-doped TiO ₂	~424	~2.93
2.0 at.% Cu-doped TiO ₂	~435	~2.85
5.0 at.% Cu-doped TiO ₂	~421	~2.95

จากความสัมพันธ์ระหว่างการดูดกลืนแสงในช่วงความยาวคลื่นต่างๆ กับแถบช่องว่างพลังงาน ของไทเทเนียมไดออกไซด์บริสุทธิ์ ไทเทเนียมไดออกไซด์ที่เจือด้วยทองแดง และไทเทเนียมไดออกไซด์ทางการค้า (Degussa P25) แสดงให้เห็นว่าการเจือด้วยทองแดงนั้นสามารถช่วยให้มีการดูดกลืนแสงในช่วงของแสงวิสิเบิล และมีแถบช่องว่างพลังงานที่ต่ำลง จึงคาดได้ว่า ไทเทเนียมไดออกไซด์ที่เจือด้วยทองแดงนั้นจะสามารถนำไปประยุกต์ใช้เป็นตัวเร่งปฏิกิริยาด้วยแสงภายใต้แสงวิสิเบิล ได้ดีกว่าไทเทเนียมไดออกไซด์บริสุทธิ์ และไทเทเนียมไดออกไซด์ทางการค้า แต่ยังไร้ความสามารถไทเทเนียมไดออกไซด์ที่เจือด้วยทองแดงร้อยละ 2.0 โดยอัตราตอนนั้นมีการดูดกลืนแสงในช่วงความยาวคลื่นที่ต่ำกว่าในกรณีของการเจือด้วยเหล็กร้อยละ 5.0 โดยอัตราตอน และทำให้มีแถบช่องว่างพลังงานที่สูงกว่า ซึ่งทำให้สามารถคาดได้ว่าในกรณีของไทเทเนียมไดออกไซด์ที่เจือด้วยเหล็กร้อยละ 5.0 โดยอัตราตอนนั้นจะมีประสิทธิภาพในการเร่งปฏิกิริยาด้วยแสง ได้ดีกว่าไทเทเนียมไดออกไซด์ที่เจือด้วยทองแดงร้อยละ 2.0 โดยอัตราตอน

4.4 ผลการวิเคราะห์พื้นที่ผิวจำเพาะ (Specific surface area)

ตัวอย่างที่ถูกนำมาตรวจสอบพื้นที่ผิวจำเพาะด้วยเทคนิค Brunauer Emmett and Teller, BET นั้นได้ตรวจสอบภายใต้สภาวะดังนี้คือ

Absorbate	=	Nitrogen gas
Out gas temperature	=	100°C
Out gas time	=	3-4 hours
Operating time	=	44.1–49.3 min

4.4.1 ผลการวิเคราะห์พื้นที่ผิวจำเพาะของไกเทเนียมไดออกไซด์และไกเทเนียมไดออกไซด์ที่เจือด้วยเหล็ก

จากการทดลอง พื้นที่ผิวจำเพาะของอนุภาคนาโนไกเทเนียมไดออกไซด์ และอนุภาคนาโนไกเทเนียมไดออกไซด์ที่เจือด้วยเหล็กซึ่งได้แสดงไว้ดังตาราง 4.10 จากการตรวจสอบพบว่าการเจือด้วยเหล็กนั้นจะช่วยให้มีพื้นที่ผิวสูงขึ้นเมื่อเปรียบเทียบกับอนุภาคนาโนไกเทเนียมไดออกไซด์ที่ปราศจากการเจือด้วยเหล็ก โดยที่อนุภาคนาโนไกเทเนียมไดออกไซด์ที่เจือด้วยเหล็กร้อยละ 5.0 โดยจะต้องมีพื้นที่ผิวสูงที่สุดเท่ากับ $134 \text{ m}^2/\text{g}$ ในขณะที่อนุภาคนาโนไกเทเนียมไดออกไซด์ที่ปราศจากการเจือด้วยเหล็กนั้นมีพื้นที่ผิวเท่ากับ $87.5 \text{ m}^2/\text{g}$ ซึ่งพื้นที่ผิวนี้มีความสอดคล้องกับผลของขนาดผลลัพธ์ที่คำนวณจากรูปแบบการเลี้ยววนของรังสีเอกซ์โดยใช้สมการที่ของ Scherrer คือ ไกเทเนียมไดออกไซด์ที่เจือด้วยเหล็กนั้นมีขนาดผลลัพธ์ที่เล็กลง และผลของการเพิ่มขึ้นของพื้นที่ผิวจำเพาะนั้นแสดงให้เห็นว่าอนุภาคนาโนขนาดเด็กลงด้วย การที่อนุภาคนาโนไกเทเนียมไดออกไซด์ที่มีขนาดเล็กกว่าตัวเร่งปฏิกิริยาด้วยแสงนั้นมีความสามารถในการเร่งปฏิกิริยาได้ดีกว่าตัวเร่งปฏิกิริยาที่มีขนาดใหญ่หรือมีพื้นที่ผิวจำเพาะน้อยเนื่องจากการมีพื้นที่ผิวจำเพาะสูงนั้นจะทำให้มีบริเวณผิวสัมผัสที่จะทำปฏิกิริยานิพิทาองตัวเร่งปฏิกิริยาด้วยแสงสูงขึ้นด้วย

ตาราง 4.10 พื้นที่ผิวจำเพาะของไกเทเนียมไดออกไซด์ และไกเทเนียมไดออกไซด์ที่เจือด้วยเหล็ก

ตัวอย่าง	พื้นที่ผิวจำเพาะ (m^2/g)
Bare TiO_2	87.5
0.5 at.% Fe-doped TiO_2	117
1.0 at.% Fe-doped TiO_2	95
2.0 at.% Fe-doped TiO_2	109
5.0 at.% Fe-doped TiO_2	134

4.2.2 ผลการวิเคราะห์พื้นที่ผิวจำเพาะของไกเทเนียมไดออกไซด์และไกเทเนียมไดออกไซด์ที่เจือด้วยทองแดง

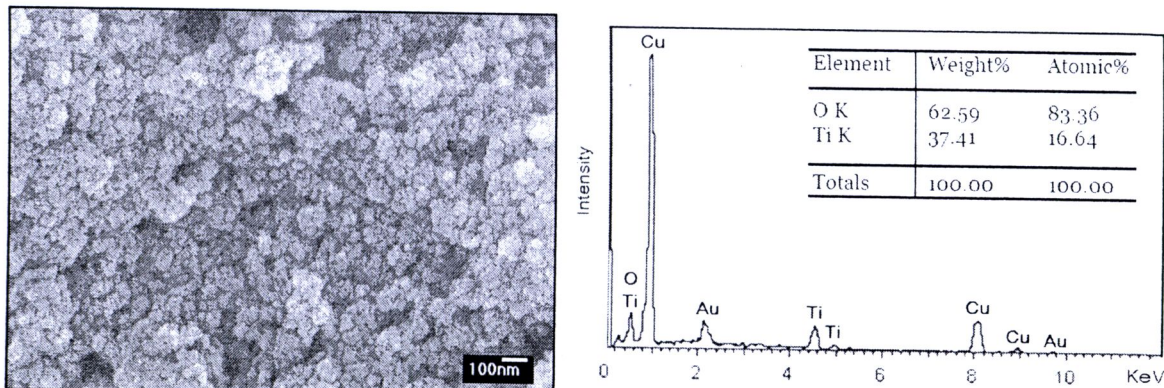
ตาราง 4.11 พื้นที่ผิวจำเพาะของไทด์เนียมไดออกไซด์ และไทด์เนียมไดออกไซด์ที่เจือด้วยทองแดง

ตัวอย่าง	พื้นที่ผิวจำเพาะ (m^2/g)
Bare TiO_2	87.5
0.5 at.% Cu-doped TiO_2	89.3
1.0 at.% Cu-doped TiO_2	111
2.0 at.% Cu-doped TiO_2	104
5.0 at.% Cu-doped TiO_2	95.6

จากตาราง 4.11 ได้แสดงพื้นที่ผิวจำเพาะของอนุภาคนาโนไทด์เนียมไดออกไซด์ และอนุภาคนาโนไทด์เนียมไดออกไซด์ที่เจือด้วยทองแดง พนวจการเจือทองแดงนั้นช่วยให้พื้นที่ผิวสูงขึ้น โดยที่อนุภาคนาโนไทด์เนียมไดออกไซด์ที่เจือด้วยทองแดงร้อยละ 1.0 โดยจะต้องนั้นให้พื้นที่ผิวสูงที่สุดเท่ากับ $111 \text{ m}^2/\text{g}$ เมื่อเปรียบเทียบกับอนุภาคนาโนไทด์เนียมไดออกไซด์บริสุทธิ์ที่มีพื้นที่ผิวจำเพาะเท่ากับ $87.5 \text{ m}^2/\text{g}$ แต่ยังไหร่ตามอนุภาคนาโนไทด์เนียมไดออกไซด์ที่เจือด้วยทองแดงนั้นยังให้พื้นที่ผิวจำเพาะน้อยกว่าในกรณีของอนุภาคนาโนไทด์เนียมไดออกไซด์ที่เจือด้วยเหล็ก การที่ตัวเร่งปฏิกิริยาด้วยแสงนั้นมีพื้นที่ผิวมากกว่าส่งผลทำให้ความสามารถในการเร่งปฏิกิริยาด้วยแสงนั้นคึกคักกว่า เนื่องจากมีบริเวณ active site ที่สูงกว่า

4.5 ผลการวิเคราะห์โดยเทคนิคล้องจุลทรรศน์อิเล็กตรอนแบบส่องกราด (scanning electron microscopy, SEM) เทคนิคการกระจายพลังงานรังสีเอกซ์ (energy dispersive X-ray spectroscopy with SEM instrument, SEM-EDS)

4.5.1 ผลการวิเคราะห์ผลโดยเทคนิค SEM และ เทคนิค SEM-EDS ของอนุภาคนาโนไทด์เนียมไดออกไซด์บริสุทธิ์



รูป 4.7 ภาพถ่าย SEM และสเปกตรัมการกระจายพลังงานรังสีเอกซ์ของไทเทเนียมไดออกไซด์บิรุสท์

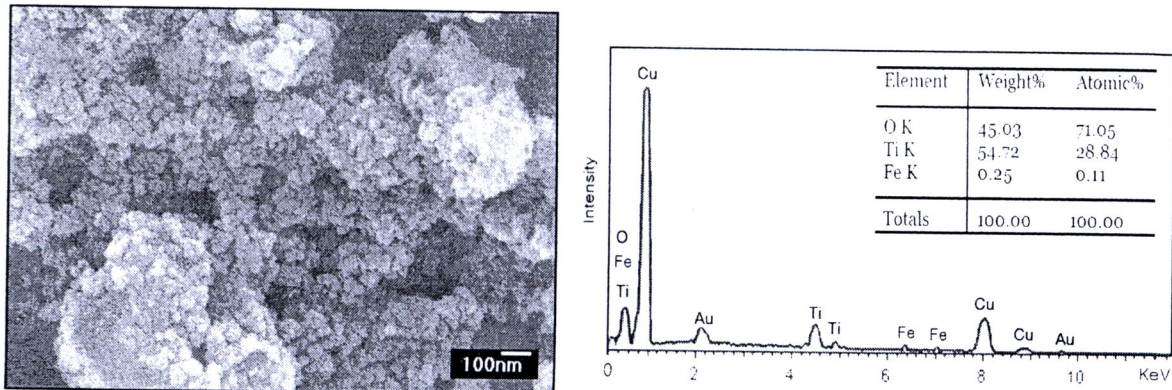
การตรวจสอบและวิเคราะห์ลักษณะสัมฐานวิทยาของอนุภาคนาโน้ไทเทเนียมไดออกไซด์โดยใช้เทคนิคล้องจุลทรรศน์อิเล็กตรอนแบบส่องกราด (scanning electron microscopy, SEM) ได้ตรวจสอบภายใต้ปัจจัยของกล้อง SEM ดังนี้คือ

- (1) ถ่ายภาพจากสัญญาณของ secondary electron (SEI)
- (2) ใช้กำลังขยาย = 50,000 เท่า
- (3) ความต่างศักย์ = 15.0 KV
- (4) Working distance (WD) = 15.0 mm

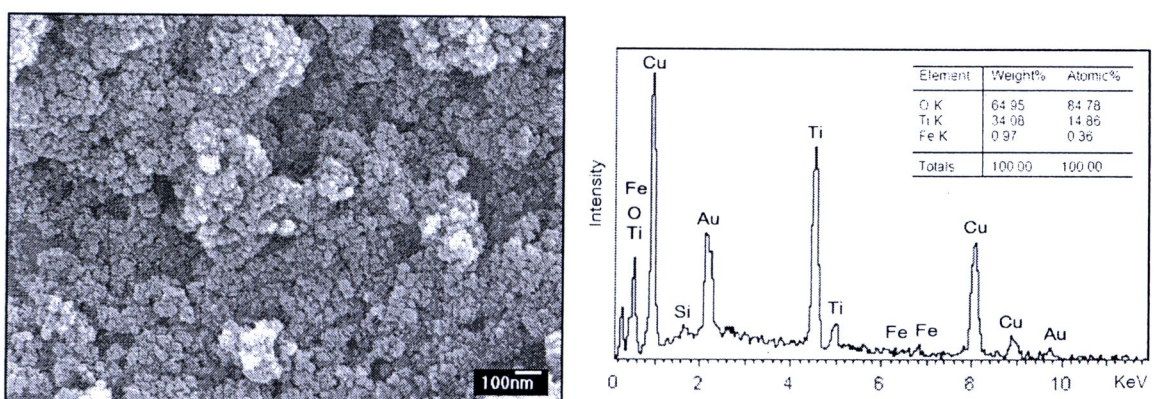
รูป 4.7 แสดงภาพถ่าย SEM ของไทเทเนียมไดออกไซด์ที่ปราศจากการเจือด้วยเหล็กและทองแดง ซึ่งสังเกตได้ว่าอนุภาคนาโน้ไทเทเนียมไดออกไซด์มีลักษณะคล้ายทรงกลม มีขนาดอยู่ในช่วง 20–40 นาโนเมตร และจากการวิเคราะห์ด้วยเทคนิคการกระจายพลังงานรังสีเอกซ์เพื่อตรวจสอบองค์ประกอบธาตุ และปริมาณขององค์ประกอบธาตุ พบร่วมกันด้วยของไทเทเนียมไดออกไซด์ที่ปราศจากการเจือด้วยเหล็กและทองแดง ประกอบด้วย ไทเทเนียม ออกซิเจน ทอง และทองแดง ดังแสดงในรูป 4.8 สเปกตรัมของทองและทองแดงที่สังเกตได้เป็นสเปกตรัมที่ไม่ต้องการวิเคราะห์ปริมาณ เนื่องจากทองเป็นสเปกตรัมที่เกิดจากกระบวนการเคลือบทองเพื่อให้รีบบานนำไฟฟ้าได้ ส่วนทองแดงเป็นสเปกตรัมของชั้นสเตรทที่ใช้เป็นฐานรองการกระจายตัวของอนุภาคไทเทเนียมไดออกไซด์

4.5.2 ผลการวิเคราะห์ผลโดยเทคนิค SEM และ เทคนิค SEM-EDS ของอนุภาคนาโนในไทเทเนียมไดออกไซด์ที่เจือด้วยเหล็ก

ลักษณะสัมฐานวิทยาจากภาพถ่าย SEM และスペกตรัมแสดงการกระจายพลังงานรังสีเอกซ์ของอนุภาคนาโนไทเทเนียมไดออกไซด์ที่เจือด้วยเหล็กปริมาณ 0.5 1.0 2.0 5.0 และ 7.0 โดยอะตอม ได้แสดงไว้ดังรูป 4.8–4.12

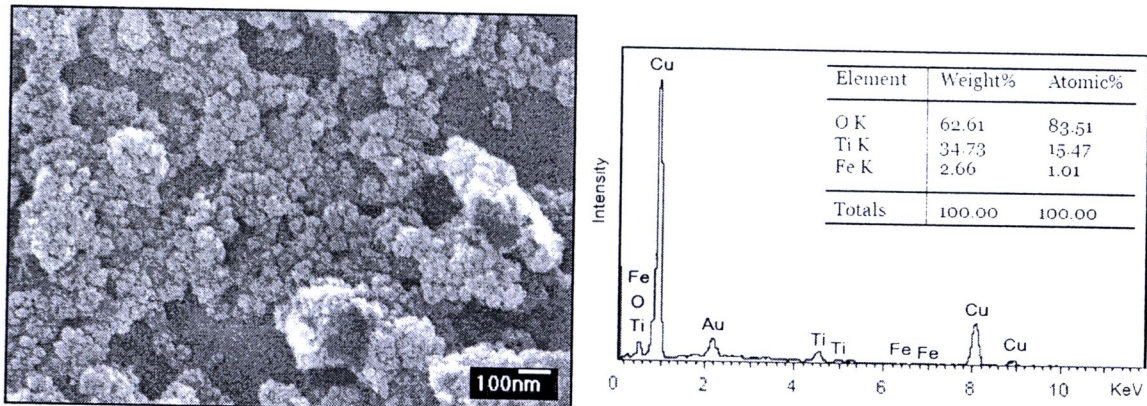


รูป 4.8 ภาพถ่าย SEM และ สเปกตรัมการกระจายพลังงานรังสีเอกซ์ของไทเทเนียมไดออกไซด์ที่เจือด้วยเหล็กปริมาณ 0.5 โดยอะตอม

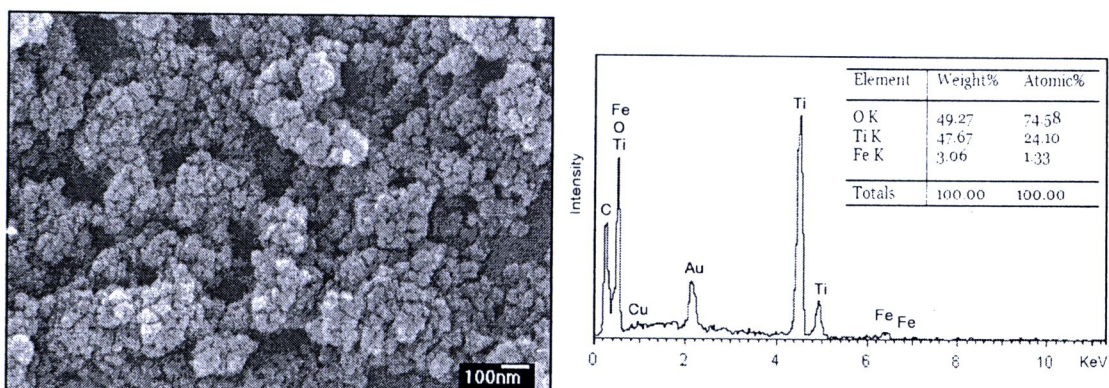


รูป 4.9 ภาพถ่าย SEM และสเปกตรัมการกระจายพลังงานรังสีเอกซ์ของไทเทเนียมไดออกไซด์ที่เจือด้วยเหล็กปริมาณ 1.0 โดยอะตอม

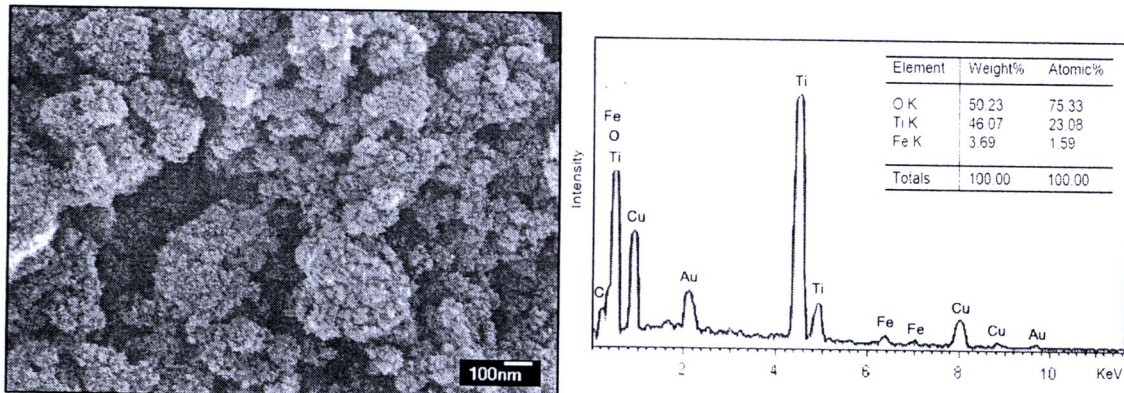




รูป 4.10 ภาพถ่าย SEM และสเปกตรัมการกระจายพลังงานรังสีเอกซ์ของไทเทเนียมไดออกไซด์ที่เจือด้วยเหล็ก ร้อยละ 2.0 โดยอะตอม



รูป 4.11 ภาพถ่าย SEM และสเปกตรัมการกระจายพลังงานรังสีเอกซ์ของไทเทเนียมไดออกไซด์ที่เจือด้วยเหล็ก ร้อยละ 5.0 โดยอะตอม



รูป 4.12 ภาพถ่าย SEM และสเปกตรัมการกระจายพลังงานรังสีเอกซ์ของไทเทเนียมไดออกไซด์ที่เจือด้วยเหล็กร้อยละ 7.0 โดยอะตอม

จากการตรวจสอบคุณภาพล้องชุดทรัศน์อิเล็กตรอนแบบส่องกราดและการกระจายพลังงานรังสีเอกซ์ของอนุภาคนาโนไทเทเนียมไดออกไซด์ที่เจือด้วยเหล็กร้อยละ 0.5–7.0 โดยอะตอม และตรวจสอบภายในใช้วิเคราะห์ด้วยเทคนิค SEM เช่นเดียวกับกรณีของอนุภาคนาโนไทเทเนียมไดออกไซด์ที่ปราศจากการเจือด้วยเหล็กและทองแดง สามารถวิเคราะห์ได้ดังนี้

จากรูป 4.8–4.12 แสดงภาพถ่าย SEM ของไทเทเนียมไดออกไซด์ที่เจือด้วยเหล็กร้อยละ 0.5 1.0 2.0 5.0 และ 7.0 โดยอะตอม ตามลำดับ อนุภาคนาโนไทเทเนียมไดออกไซด์มีลักษณะคล้ายทรงกลมกระจายตัว และอนุภาคมีขนาดต่างๆ ดังที่แสดงในตาราง 4.12 จากการวิเคราะห์ด้วยเทคนิคการกระจายพลังงานรังสีเอกซ์เพื่อตรวจสอบองค์ประกอบบนชาตุ และปริมาณขององค์ประกอบบนชาตุ สรุปได้ดังตาราง 4.13 สเปกตรัมของทองและทองแดงที่สังเกตได้เป็นสเปกตรัมที่ไม่ต้องการวิเคราะห์ปริมาณ เนื่องจากทองเป็นสเปกตรัมที่เกิดจากกระบวนการเคลือบทองเพื่อให้ชั้นงานนำไฟฟ้าได้ ส่วนทองแดงเป็นสเปกตรัมของชั้บสเตรทที่ใช้เป็นฐานรองการกระจายตัวของอนุภาคไทเทเนียมไดออกไซด์ ส่วนสเปกตรัมของซิลิกอนที่ตรวจพบในตัวอย่างที่เจือด้วยเหล็กร้อยละ 1.0 โดยอะตอม เกิดขึ้นเนื่องจากเกิดปรากฏการณ์พิกรรมกวัณซิลิกอน (silicon interference peak) ซึ่งอะตอมของผลึกซิลิกอนที่ถูกกระตุ้นในตัวตรวจวัด (detector) แล้วหายรังสีเอกซ์ Si K_{α} ซึ่งมีพลังงานที่ 1.74 KeV

การตรวจสอบการกระจายพลังงานรังสีเอกซ์ของตัวอย่างไทเทเนียมไดออกไซด์ที่เจือด้วยทองเหล็กเป็นวิธีหนึ่งที่สามารถยืนยันได้ว่าในระบบของสารที่สังเคราะห์นั้นมีเหล็กอยู่จริง และ

การตรวจสอบแบบเลือกพื้นที่ในการกระจายพลังงานรังสีเอกซ์ พบร่วมกับปริมาณของเหล็กเพิ่มขึ้นตามการเจือเหล็กในปริมาณร้อยละ โดยอัตราทอมที่เพิ่มขึ้น

ตาราง 4.12 ขนาดอนุภาคของอนุภาคนาโนไทเทเนียมไดออกไซด์ที่เจือด้วยเหล็ก

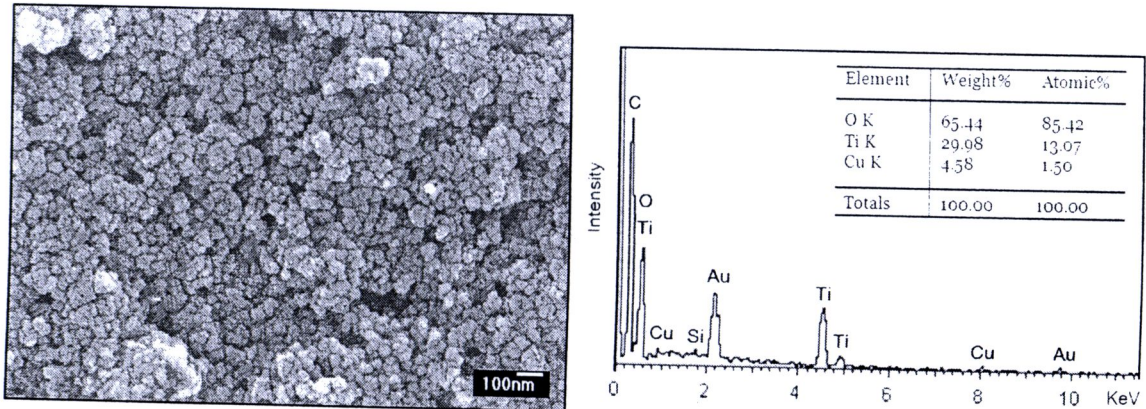
ตัวอย่าง	ขนาดอนุภาค (nm)
0.5 at.% Fe-doped TiO ₂	20–40
1.0 at.% Fe-doped TiO ₂	15–40
2.0 at.% Fe-doped TiO ₂	15–35
5.0 at.% Fe-doped TiO ₂	6–25
7.0 at.% Fe-doped TiO ₂	10–20

ตาราง 4.13 องค์ประกอบธาตุของอนุภาคนาโนไทเทเนียมไดออกไซด์ที่เจือด้วยเหล็ก

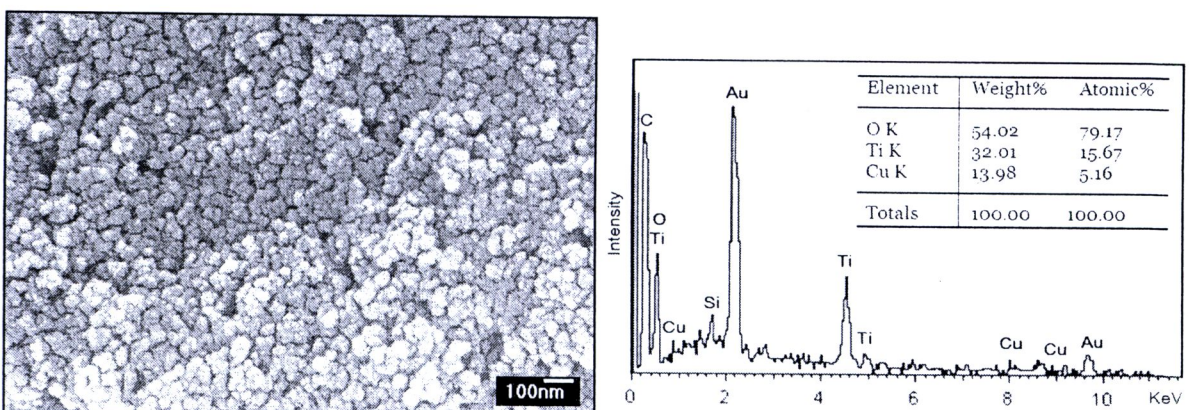
ตัวอย่าง	องค์ประกอบธาตุ (Weight %)		
	Ti	O	Fe
0.5 at.% Fe-doped TiO ₂	28.84	71.05	0.11
1.0 at.% Fe-doped TiO ₂	14.86	84.78	0.36
2.0 at.% Fe-doped TiO ₂	15.47	83.51	1.01
5.0 at.% Fe-doped TiO ₂	24.10	74.58	1.33
7.0 at.% Fe-doped TiO ₂	23.08	75.33	1.59

4.5.3 ผลการวิเคราะห์ผลโดยเทคนิค SEM และ เทคนิค SEM-EDS ของอนุภาคนาโนไทเทเนียมไดออกไซด์ที่เจือด้วยทองแดง

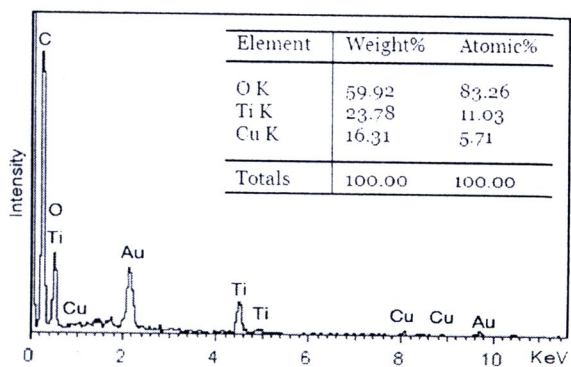
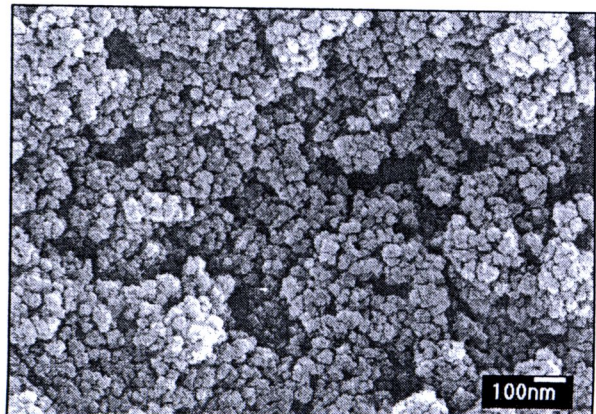
ลักษณะสัมฐานวิทยาจากภาพถ่าย SEM และสเปกตรัมแสดงการกระจายพลังงานรังสีเอกซ์ ของอนุภาคนาโนไทเทเนียมไดออกไซด์ที่เจือด้วยด้วยทองแดงร้อยละ 0.5 1.0 2.0 และ 5.0 โดยอัตราทอม ได้แสดงไว้ดังรูป 4.13–4.16



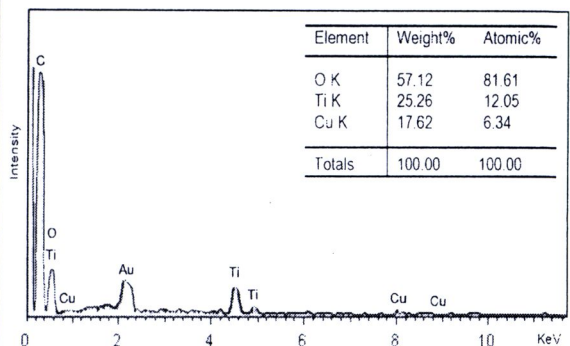
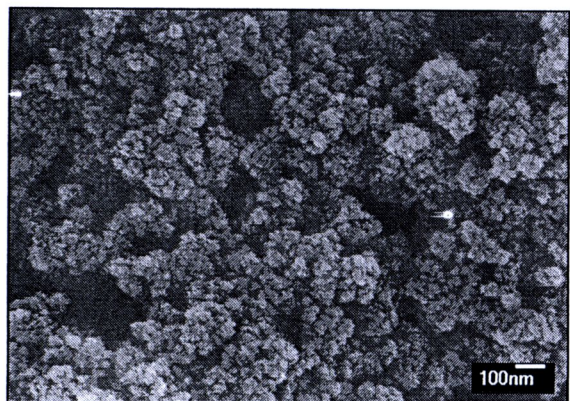
รูป 4.13 ภาพถ่าย SEM และสเปกตรัมการกระจายพลังงานรังสีเอกซ์ของไทเทเนียมไคออกไซด์ที่เจือด้วยทองแดงร้อยละ 0.5 โดยอะตอม



รูป 4.14 ภาพถ่าย SEM และสเปกตรัมการกระจายพลังงานรังสีเอกซ์ของไทเทเนียมไคออกไซด์ที่เจือด้วยทองแดงร้อยละ 1.0 โดยอะตอม



รูป 4.15 ภาพถ่าย SEM และスペクトรัมการกระจายพลังงานรังสีเอกซ์ของไทเทเนียมไนออกไซด์ที่เจือด้วยทองแดงร้อยละ 2.0 โดยอะตอม



รูป 4.16 ภาพถ่าย SEM และスペクトรัมการกระจายพลังงานรังสีเอกซ์ของไทเทเนียมไนออกไซด์ที่เจือด้วยทองแดงร้อยละ 5.0 โดยอะตอม

จากการตรวจสอบคุณภาพลักษณะของชุลต์อิเล็กตรอนแบบส่องกล้องและการกระจายพลังงานรังสีเอกซ์ของอนุภาคนาโน่ในไทเทเนียมไดออกไซด์ที่เจือด้วยทองแดงร้อยละ 0.5–5.0 โดยจะต้องและตรวจสอบภายในได้ปัจจัยของกล้อง SEM เช่นเดียวกับกรณีของอนุภาคนาโน่ในไทเทเนียมไดออกไซด์ที่ปราศจากการเจือด้วยเหล็ก สามารถวิเคราะห์ได้ดังนี้

รูป 4.13–4.16 แสดงภาพถ่าย SEM ของไทเทเนียมไดออกไซด์ที่เจือด้วยทองแดงร้อยละ 0.5 1.0 2.0 และ 5.0 โดยจะต้องตามลำดับ อนุภาคนาโน่ในไทเทเนียมไดออกไซด์มีลักษณะคล้ายทรงกลมกระหายตัว เช่นเดียวกับกรณีของไทเทเนียมไดออกไซด์ที่เจือด้วยเหล็ก และอนุภาคมีขนาดต่างๆ ดังที่แสดงในตาราง 4.14 จากการวิเคราะห์ด้วยเทคนิคการกระจายพลังงานรังสีเอกซ์เพื่อตรวจสอบองค์ประกอบธาตุ และปริมาณขององค์ประกอบธาตุ สรุปได้ดังตาราง 4.15 สเปกตรัมทองแดงที่สังเกตได้เป็นสเปกตรัมที่เกิดขึ้นจากการเจือด้วยทองแดงเข้าไปในไทเทเนียมไดออกไซด์ซึ่งต่างจากสเปกตรัมของทองแดงที่สังเกตได้ในกรณีตัวอย่างของไทเทเนียมไดออกไซด์ที่เจือด้วยเหล็ก ซึ่งเป็นสเปกตรัมของทองแดงที่เป็นชั้บสเตรทที่ไม่ต้องการวิเคราะห์ปริมาณ ในกรณีของไทเทเนียมไดออกไซด์ที่เจือด้วยทองแดงนั้นจะใช้ชับสเตรทเป็นอุฐมิเนียมแทน สเปกตรัมของทองเกิดจากกระบวนการเคลือบทองเพื่อให้ชั้นงานนำไฟฟ้าได้ ส่วนสเปกตรัมของซิลิกอนที่ตรวจพบในตัวอย่างที่เจือด้วยทองแดงร้อยละ 0.5 และ 1.0 โดยจะต้องเกิดขึ้นเนื่องจากเกิดปรากฏการณ์พิกรรมกวนซิลิกอน (silicon interference peak) เช่นเดียวกับตัวอย่างของไทเทเนียมไดออกไซด์ที่เจือด้วยเหล็กร้อยละ 1.0 โดยจะต้อง การตรวจสอบการกระจายพลังงานรังสีเอกซ์ของตัวอย่างไทเทเนียมไดออกไซด์ที่เจือด้วยทองแดงเป็นวิธีหนึ่งที่สามารถยืนยันได้ว่าในระบบของสารที่สังเคราะห์นั้นมีทองแดงอยู่จริง และการตรวจสอบแบบเลือกพื้นที่ในการกระจายพลังงานรังสีเอกซ์พบว่าปริมาณของทองแดงเพิ่มขึ้นตามการเจือทองแดงในปริมาณร้อยละ โดยจะต้องเพิ่มขึ้น

ตาราง 4.14 ขนาดอนุภาคของอนุภาคนาโน่ในไทเทเนียมไดออกไซด์ที่เจือด้วยแดง

ตัวอย่าง	ขนาดอนุภาค (nm)
0.5 at.% Cu-doped TiO ₂	30–45
1.0 at.% Cu-doped TiO ₂	30–45
2.0 at.% Cu-doped TiO ₂	15–35
5.0 at.% Cu-doped TiO ₂	10–30

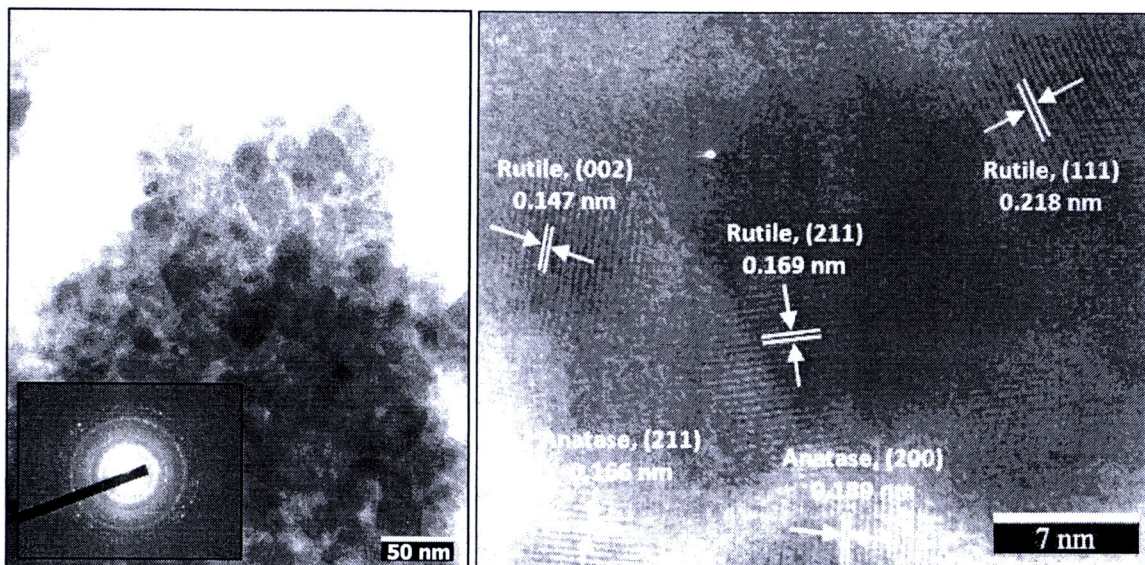
ตาราง 4.15 องค์ประกอบชาตุของอนุภาคนาโนไทเทเนียมไดออกไซด์ที่เจือด้วยทองแดง

ตัวอย่าง	องค์ประกอบชาตุ (Weight %)		
	Ti	O	Cu
0.5 at.% Cu-doped TiO ₂	13.07	85.42	1.50
1.0 at.% Cu-doped TiO ₂	15.67	79.17	5.16
2.0 at.% Cu-doped TiO ₂	11.03	83.26	5.71
5.0 at.% Cu-doped TiO ₂	12.05	81.61	6.34

4.6 ผลการวิเคราะห์โดยเทคนิคกล้องจุลทรรศน์อิเล็กตรอนแบบส่องผ่าน (transmission electron microscopy, TEM)

จากการตรวจสอบด้วยเทคนิค TEM ประกอบไปด้วยภาพถ่ายลักษณะสัมฐานวิทยาโดยใช้กำลังขยาย 40,000 เท่า สำหรับภาพถ่ายริ้วการแทรกสอดของระนาบ (lattice fringe) ใช้กำลังขยาย 300,000 เท่า และภาพถ่ายแบบรูปการเดี่ยวเบนอิเล็กตรอน (ring pattern)

4.6.1 ผลและการวิเคราะห์ผลโดยเทคนิค TEM ของไทเทเนียมไดออกไซด์บริสุทธิ์

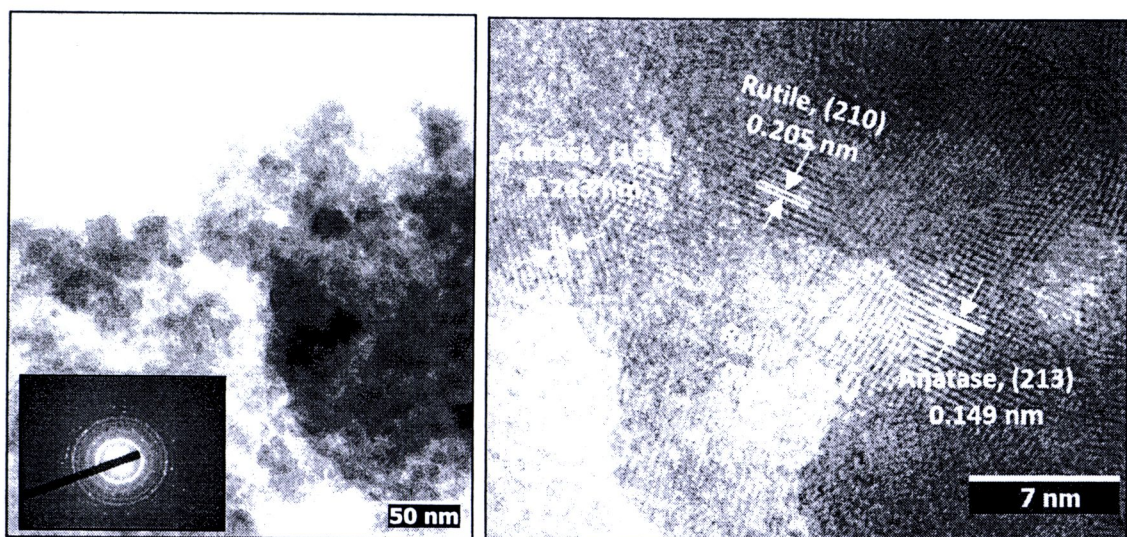


รูป 4.17 ภาพถ่าย TEM ของไทเทเนียมไดออกไซด์บริสุทธิ์

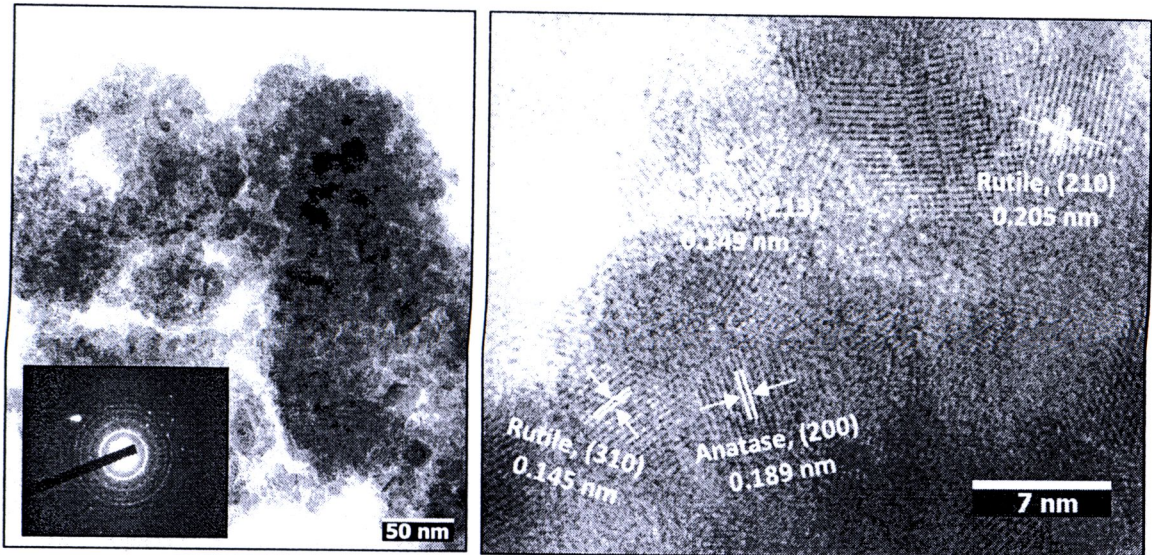
รูป 4.17 แสดงภาพถ่ายลักษณะสัมฐานวิทยา แบบรูปการเดี่ยวเบนอิเล็กตรอน (ring pattern) และรีวิวการแทรกสอดของระนาบ (lattice fringe) ของไทเทเนียมไดออกไซด์บริสุทธิ์ ลักษณะสัมฐานวิทยาแสดงให้เห็นว่าอนุภาคมีลักษณะคล้ายทรงกลม มีการซ้อนทับกันของอนุภาค ซึ่งสังเกตได้จากบริเวณที่มีความเข้มสูง ขนาดของอนุภาคอยู่ระหว่าง 20–40 นาโนเมตร ซึ่งสัมพันธ์กับขนาดอนุภาคที่ได้จากเทคนิค SEM รีวิวการแทรกสอดของระนาบ (lattice fringe) เป็นข้อมูลที่ช่วยยืนยันผลของไทเทเนียมไดออกไซด์ เนื่องจากจะช่วยให้สามารถนำข้อมูล JCPDS file จากการวิเคราะห์ด้วยเทคนิค XRD จากรีวิวการแทรกสอดของระนาบของไทเทเนียมไดออกไซด์ บริสุทธิ์ พบว่าที่ระยะห่างระหว่างระนาบซึ่งเปรียบเทียบได้จากฐานข้อมูล JCPDS file จาก d_{hkl} จาก JCPDS file ของเฟสรูไพล์รูบาน (002) และเฟสอะนาเทสรูบาน (200) ตามลำดับ ส่วนภาพถ่ายแบบรูปการเดี่ยวเบนอิเล็กตรอน (ring pattern) ที่เป็นลักษณะเฉพาะของโครงสร้างของไทเทเนียมไดออกไซด์แสดงให้เห็นว่าเป็นพหุผลิก

4.6.2 ผลและการวิเคราะห์ผลโดยเทคนิค TEM ของไทเทเนียมไดออกไซด์ที่เจือด้วยเหล็ก

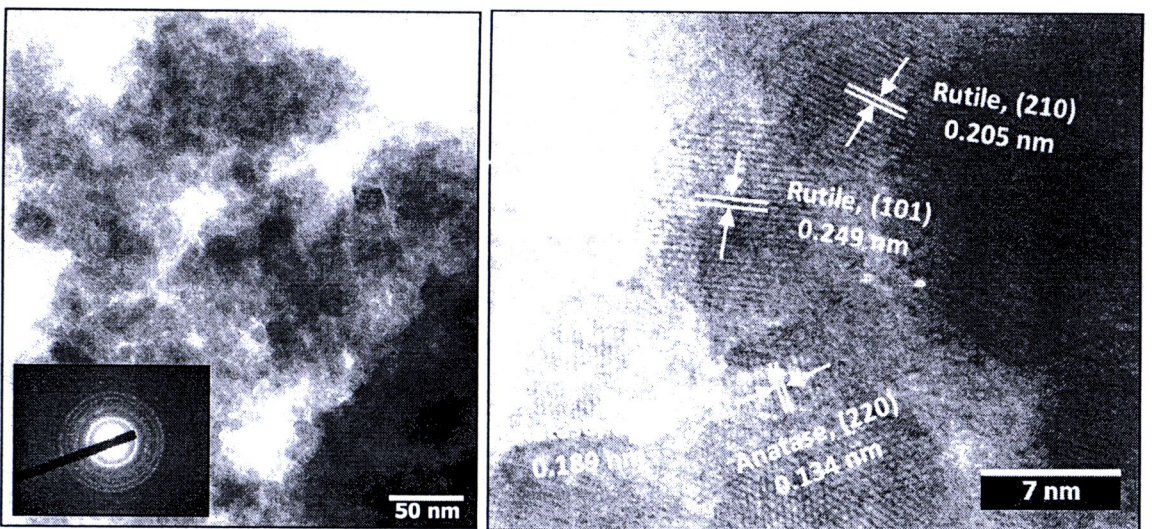
ลักษณะสัมฐานวิทยาจากภาพถ่าย TEM แบบรูปการเดี่ยวเบนอิเล็กตรอน (ring pattern) และรีวิวการแทรกสอดของระนาบ (lattice fringe) ของอนุภาคนาโนไทเทเนียมไดออกไซด์ที่เจือด้วยด้วยทองเหลืองร้อยละ 0.5 1.0 2.0 และ 5.0 โดยอะตอม ได้แสดงไว้ดังรูป 4.18–4.21



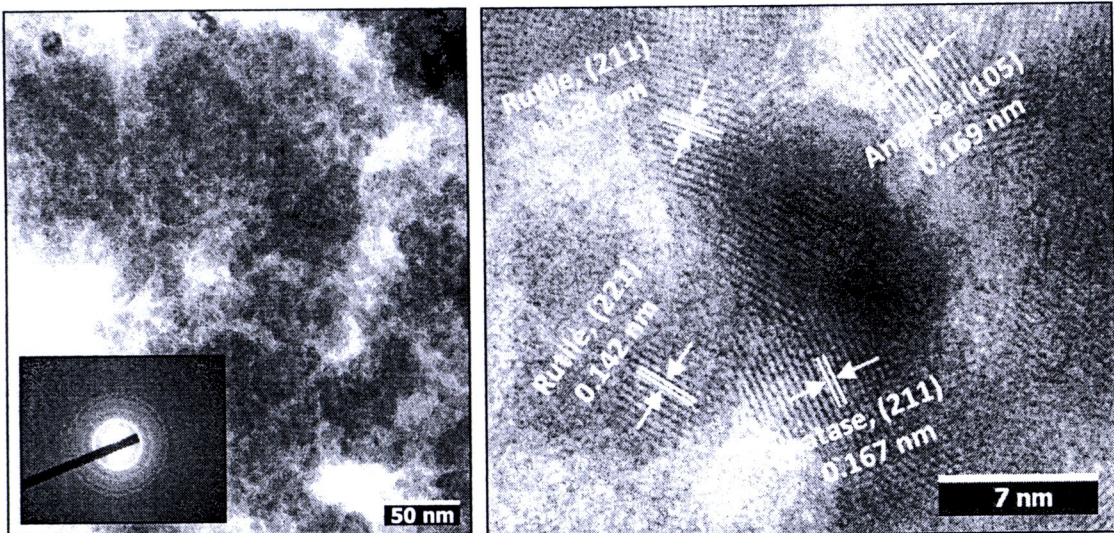
รูป 4.18 ภาพถ่าย TEM ของไทเทเนียมไดออกไซด์ที่เจือด้วยเหล็กร้อยละ 0.5 โดยอะตอม



รูป 4.19 ภาพถ่าย TEM ของไทเทเนียมไดออกไซด์ที่เจือด้วยเหล็กร้อยละ 1.0 โดยอะตอม



รูป 4.20 ภาพถ่าย TEM ของไทเทเนียมไดออกไซด์ที่เจือด้วยเหล็กร้อยละ 2.0 โดยอะตอม



รูป 4.21 ภาพถ่าย TEM ของไทเทเนียมไดออกไซด์ที่เจือด้วยเหล็กร้อยละ 5.0 โดยอะตอม

ลักษณะสัมฐานวิทยา แบบรูปการเลี้ยวเบนอิเล็กตรอน และรีวิวการแทรกสอดของระนาบ (lattice fringe) ของไทเทเนียมไดออกไซด์ที่เจือด้วยเหล็กสามารถวิเคราะห์ได้ดังนี้คือ

รูป 4.18 แสดงภาพถ่ายลักษณะสัมฐานวิทยา แบบรูปการเลี้ยวเบนอิเล็กตรอน (ring pattern) และรีวิวการแทรกสอดของระนาบ (lattice fringe) ของไทเทเนียมไดออกไซด์ที่เจือด้วยเหล็กร้อยละ 0.5 โดยอะตอม พนว่าลักษณะสัมฐานวิทยาแสดงให้เห็นว่าอนุภาคมีลักษณะคล้ายทรงกลม ขนาดของอนุภาค 20–40 nm ซึ่งสัมพันธ์กับขนาดอนุภาคที่ได้จากเทคนิค SEM รีวิวการแทรกสอดของระนาบ พนว่าที่ระยะห่างของรีวิวการแทรกสอดของระนาบท่ากับ 0.205 nm และ 0.166 nm ตรงกับ d_{hkl} จาก JCPDS file ของเฟสรูไทร์รอน (210) และเฟสอะนาเทสระนาบ (211) ตามลำดับ ส่วนแบบรูปการเลี้ยวเบนอิเล็กตรอน (ring pattern) แสดงให้เห็นว่าเป็นพหุลีก

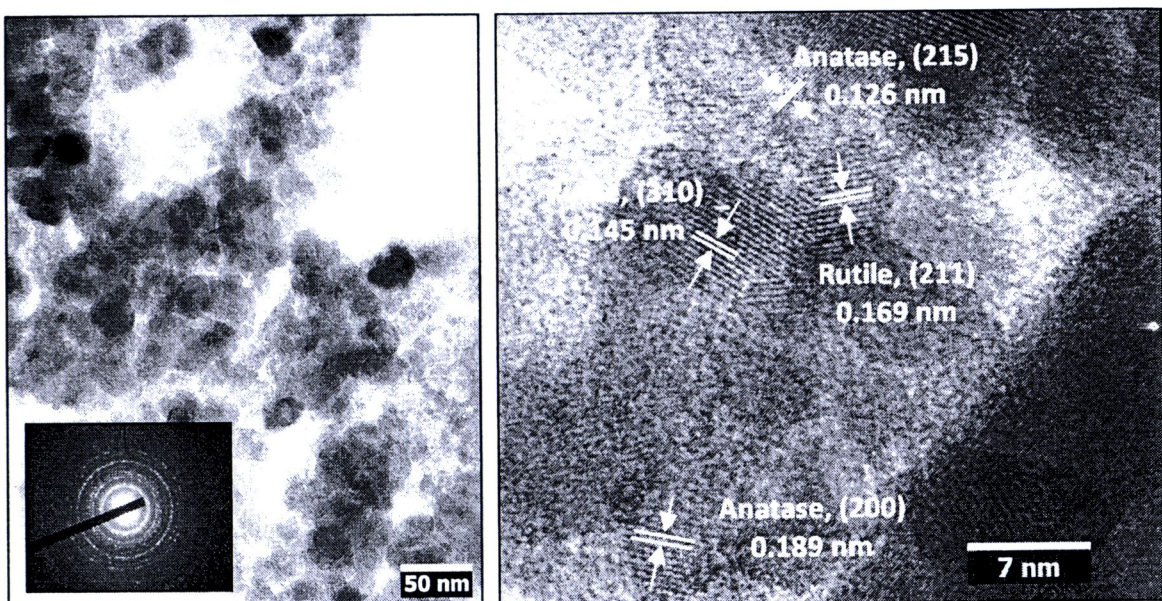
รูป 4.19 แสดงภาพถ่ายลักษณะสัมฐานวิทยา แบบรูปการเลี้ยวเบนอิเล็กตรอน (ring pattern) และรีวิวการแทรกสอดของระนาบ (lattice fringe) ของไทเทเนียมไดออกไซด์ที่เจือด้วยเหล็กร้อยละ 1.0 โดยอะตอม พนว่าลักษณะสัมฐานวิทยาแสดงให้เห็นว่าอนุภาคมีลักษณะคล้ายทรงกลม ขนาดของอนุภาค 15–35 nm ซึ่งสัมพันธ์กับขนาดอนุภาคที่ได้จากเทคนิค SEM รีวิวการแทรกสอดของระนาบ พนว่าที่ระยะห่างของรีวิวการแทรกสอดของระนาบท่ากับ 0.205 nm และ 0.189 nm ตรงกับ d_{hkl} จาก JCPDS file ของเฟสรูไทร์รอน (210) และเฟสอะนาเทสระนาบ (200) ตามลำดับ ส่วนแบบรูปการเลี้ยวเบนอิเล็กตรอน (ring pattern) แสดงให้เห็นว่าเป็นพหุลีก

รูป 4.20 แสดงภาพถ่ายลักษณะสัมฐานวิทยา แบบรูปการเลี้ยวเบนอิเล็กตรอน (ring pattern) และรีวิวการแทรกสอดของระนาบ (lattice fringe) ของไทเทเนียมไดออกไซด์ที่เจือด้วย

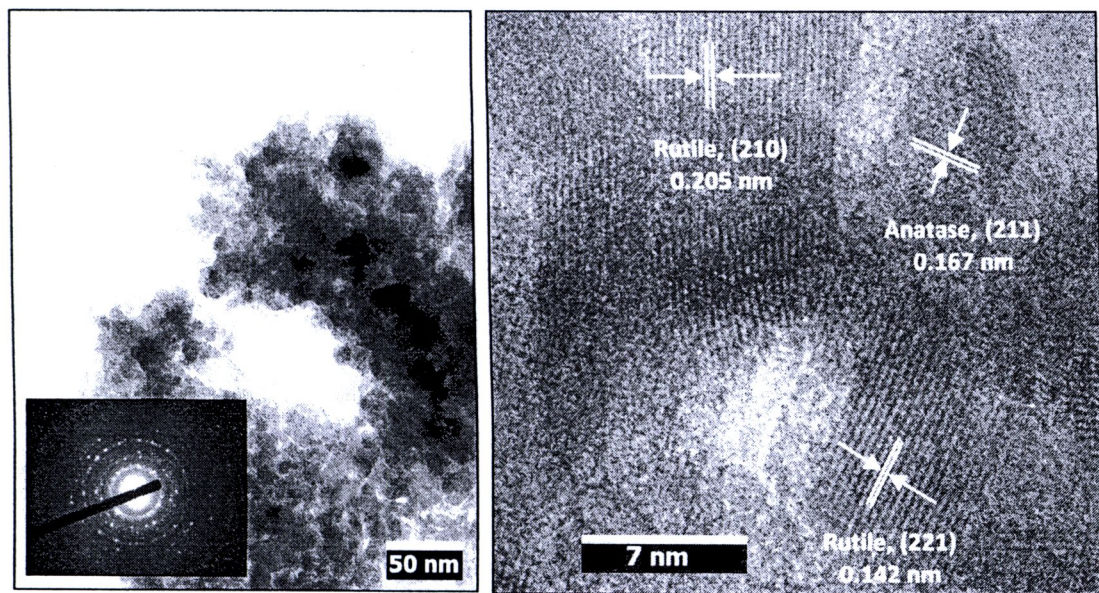
เหล็กร้อยละ 2.0 โดยอัตโนมัติ พบว่าลักษณะสัมฐานวิทยาแสดงให้เห็นว่าอนุภาคมีลักษณะคล้ายทรงกลม ขนาดของอนุภาค 10–30 nm ซึ่งสัมพันธ์กับขนาดอนุภาคที่ได้จากเทคนิค SEM รีวิวการแทรกสอดของอะตอม พบว่าที่ระยะห่างของรีวิวการแทรกสอดของอะตอมเท่ากับ 0.249 nm และ 0.189 nm ตรงกับ d_{hkl} จาก JCPDS file ของเฟสสูตรีดีฟาร์บาน (101) และเฟสอะนาเทสรานาบ (200) ตามลำดับ ส่วนแบบรูปการเดี่ยวเบนอิเล็กตรอน (ring pattern) แสดงให้เห็นว่าเป็นพหุผลึก

รูป 4.21 แสดงภาพถ่ายลักษณะสัมฐานวิทยา แบบรูปการเดี่ยวเบนอิเล็กตรอน (ring pattern) และรีวิวการแทรกสอดของอะตอม (lattice fringe) ของไทเทเนียมไดออกไซด์ที่เจือด้วยเหล็กร้อยละ 1.0 โดยอัตโนมัติ พบว่าลักษณะสัมฐานวิทยาแสดงให้เห็นว่าอนุภาคมีลักษณะคล้ายทรงกลม ขนาดของอนุภาค 6–25 nm ซึ่งสัมพันธ์กับขนาดอนุภาคที่ได้จากเทคนิค SEM รีวิวการแทรกสอดของอะตอม พบว่าที่ระยะห่างของรีวิวการแทรกสอดของอะตอมเท่ากับ 0.168 nm และ 0.187 nm ตรงกับ d_{hkl} จาก JCPDS file ของเฟสสูตรีดีฟาร์บาน (211) และเฟสอะนาเทสรานาบ (200) ตามลำดับ ส่วนแบบรูปการเดี่ยวเบนอิเล็กตรอน (ring pattern) แสดงให้เห็นว่าเป็นพหุผลึก

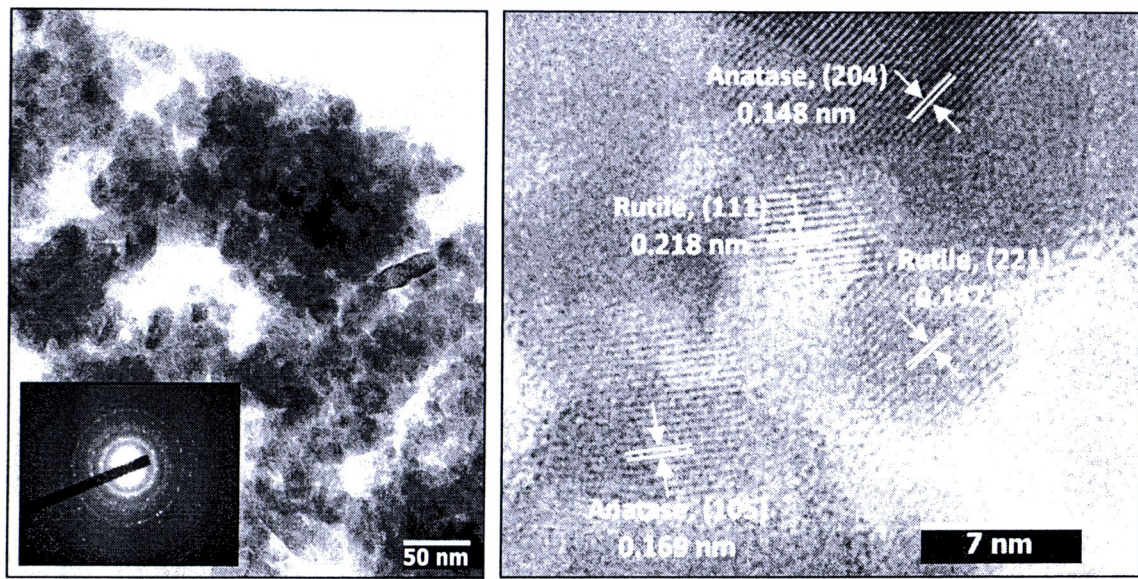
4.6.3 ผลและการวิเคราะห์ผลโดยเทคนิค TEM ของไทเทเนียมไดออกไซด์ที่เจือด้วยทองแดง



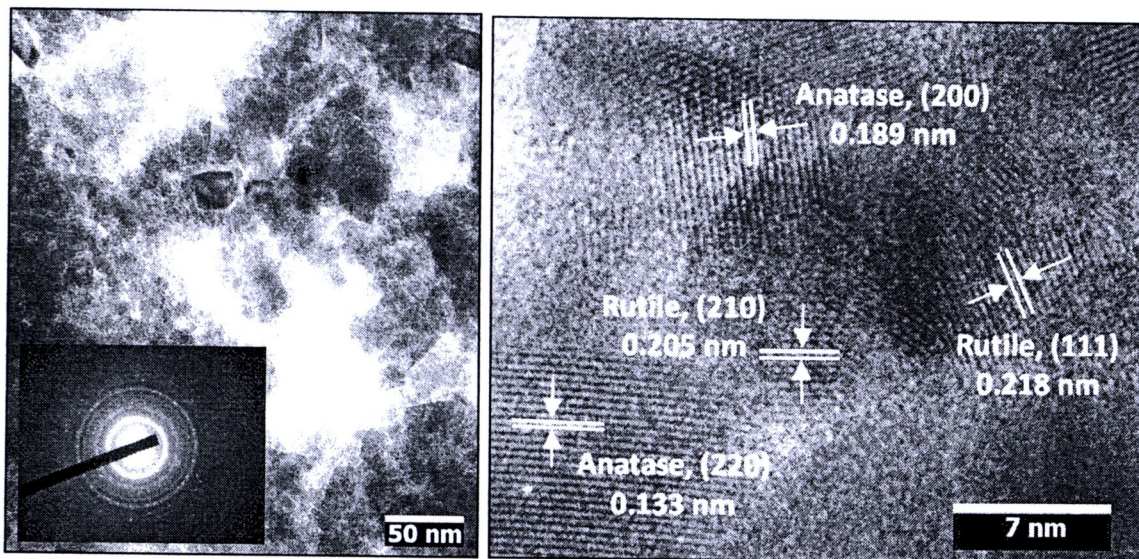
รูป 4.22 ภาพถ่าย TEM ของไทเทเนียมไดออกไซด์ที่เจือด้วยทองแดงร้อยละ 0.5 โดยอัตโนมัติ



รูป 4.23 ภาพถ่าย TEM ของไทเทเนียมไดออกไซด์ที่เจือด้วยทองแดงร้อยละ 1.0 โดยอะตอม



รูป 4.24 ภาพถ่าย TEM ของไทเทเนียมไดออกไซด์ที่เจือด้วยทองแดงร้อยละ 2.0 โดยอะตอม



รูป 4.25 ภาพถ่าย TEM ของไทเทเนียมไดออกไซด์ที่เจือด้วยทองแดงร้อยละ 5.0 โดยอะตอม

รูป 4.22 แสดงภาพถ่ายลักษณะสัมฐานวิทยา แบบรูปการเลี้ยวเบนอิเล็กตรอน (ring pattern) และรีวิวการแทรกสอดของระนาบ (lattice fringe) ของไทเทเนียมไดออกไซด์ที่เจือด้วยทองแดงร้อยละ 0.5 โดยอะตอม พนว่าลักษณะสัมฐานวิทยาแสดงให้เห็นว่าอนุภาคมีลักษณะคล้ายทรงกลม ขนาดของอนุภาคนานาจังหวะ 30–45 nm ซึ่งสัมพันธ์กับขนาดอนุภาคนานาจังหวะที่ได้จากเทคนิค SEM รีวิวการแทรกสอดของระนาบ พนว่าที่ระยะห่างของรีวิวการแทรกสอดของระนาบท่ากับ 0.169 nm และ 0.189 nm ตรงกับ d_{hkl} จาก JCPDS file ของเฟสกรูไทล์ระนาบ (211) และเฟสอะนาเทสระนาบ (200) ตามลำดับ ส่วนแบบรูปการเลี้ยวเบนอิเล็กตรอน (ring pattern) แสดงให้เห็นว่าเป็นพหุผลึก

รูป 2.23 แสดงภาพถ่ายลักษณะสัมฐานวิทยา แบบรูปการเลี้ยวเบนอิเล็กตรอน (ring pattern) และรีวิวการแทรกสอดของระนาบ (lattice fringe) ของไทเทเนียมไดออกไซด์ที่เจือด้วยทองแดงร้อยละ 1.0 โดยอะตอม พนว่าลักษณะสัมฐานวิทยาแสดงให้เห็นว่าอนุภาคมีลักษณะคล้ายทรงกลม ขนาดของอนุภาคนานาจังหวะ 30–45 nm ซึ่งสัมพันธ์กับขนาดอนุภาคนานาจังหวะที่ได้จากเทคนิค SEM รีวิวการแทรกสอดของระนาบ พนว่าที่ระยะห่างของรีวิวการแทรกสอดของระนาบท่ากับ 0.142 nm และ 0.205 nm ตรงกับ d_{hkl} จาก JCPDS file ของเฟสกรูไทล์ระนาบ (221) และเฟสอะนาเทสระนาบ (210) ตามลำดับ ส่วนแบบรูปการเลี้ยวเบนอิเล็กตรอน (ring pattern) แสดงให้เห็นว่าเป็นพหุผลึก

รูป 2.24 แสดงภาพถ่ายลักษณะสัมฐานวิทยา แบบรูปการเลี้ยวเบนอิเล็กตรอน (ring pattern) และรีวิวการแทรกสอดของระนาบ (lattice fringe) ของไทเทเนียมไดออกไซด์ที่เจือด้วย

ทองแดงร้อยละ 2.0 โดยอะตอม พนว่าลักษณะสัมฐานวิทยาแสดงให้เห็นว่าอนุภาคมีลักษณะคล้ายทรงกลม ขนาดของอนุภาคน 15–35 nm ซึ่งสัมพันธ์กับขนาดอนุภาคนที่ได้จากเทคนิค SEM รีวิวการแทรกสอดของอะตอม พบว่าที่ระยะห่างของรีวิวการแทรกสอดของอะตอมเท่ากับ 0.218 nm และ 0.169 nm ตรงกับ d_{hkl} จาก JCPDS file ของเฟสรูไท์รัตนาน (111) และเฟสอะนาเทสรัตนาน (105) ตามลำดับ ส่วนแบบรูปการเลี้ยวเบนอิเล็กตรอน (ring pattern) แสดงให้เห็นว่าเป็นพหุผลึก

รูป 4.25 แสดงภาพถ่ายลักษณะสัมฐานวิทยา แบบรูปการเลี้ยวเบนอิเล็กตรอน (ring pattern) และรีวิวการแทรกสอดของอะตอม (lattice fringe) ของไทเทเนียม dioxide ไซด์ที่เจือด้วยทองแดงร้อยละ 5.0 โดยอะตอม พนว่าลักษณะสัมฐานวิทยาแสดงให้เห็นว่าอนุภาคมีลักษณะคล้ายทรงกลม ขนาดของอนุภาคน 10–30 nm ซึ่งสัมพันธ์กับขนาดอนุภาคนที่ได้จากเทคนิค SEM รีวิวการแทรกสอดของอะตอม พบว่าที่ระยะห่างของรีวิวการแทรกสอดของอะตอมเท่ากับ 0.229 nm และ 0.189 nm ตรงกับ d_{hkl} จาก JCPDS file ของเฟสรูไท์รัตนาน (200) และเฟสอะนาเทสรัตนาน (200) ตามลำดับ ส่วนแบบรูปการเลี้ยวเบนอิเล็กตรอน (ring pattern) แสดงให้เห็นว่าเป็นพหุผลึก

4.7 ผลการวิเคราะห์ประสิทธิภาพในการเร่งปฏิกิริยาด้วยแสง (Photocatalytic activity)

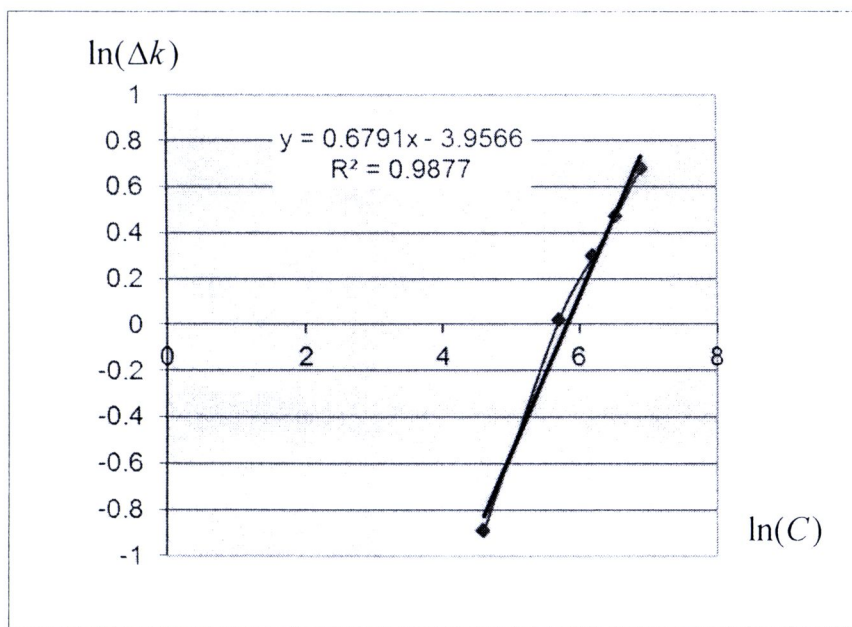
การทดสอบประสิทธิภาพในการเร่งปฏิกิริยาด้วยแสงของตัวเร่งปฏิกิริยาด้วยแสง ไทเทเนียม dioxide ไทเทเนียม dioxide ไซด์ที่เจือด้วยเหล็กและทองแดง ทดสอบโดยการย่อยสลายสารประกอบอินทรีย์คือ กรดออกชาลิก และกรดฟอร์มิก ภายใต้การฉายแสงวิสิเบิลเป็นเวลา 120 นาที โดยได้ทำการทดสอบประสิทธิภาพเทียบกับ ไทเทเนียม dioxide ไซด์ทางการค้า (Degussa P25) ซึ่งได้ผลดังนี้คือ

4.7.1 การปรับเทียบปริมาณความเข้มข้นของกรดออกชาลิก

ตาราง 4.16 เป็นตารางทำการปรับเทียบปริมาณความเข้มข้นของกรดออกชาลิก เป็นการปรับเทียบเพื่อที่จะนำข้อมูลไปปรับเทียบกับข้อมูลจากการทดสอบการเร่งปฏิกิริยาด้วยแสง โดยใช้สมการที่แสดงในรูป 4.26 ในการย่อยสลายกรดออกชาลิกและกรดฟอร์มิกของตัวเร่งปฏิกิริยาด้วยแสง ไทเทเนียม dioxide ไซด์ ตัวเร่งปฏิกิริยาด้วยแสง ไทเทเนียม dioxide ไซด์ที่เจือด้วยเหล็กและทองแดง และ ไทเทเนียม dioxide ไซด์ทางการค้า (Degussa P25)

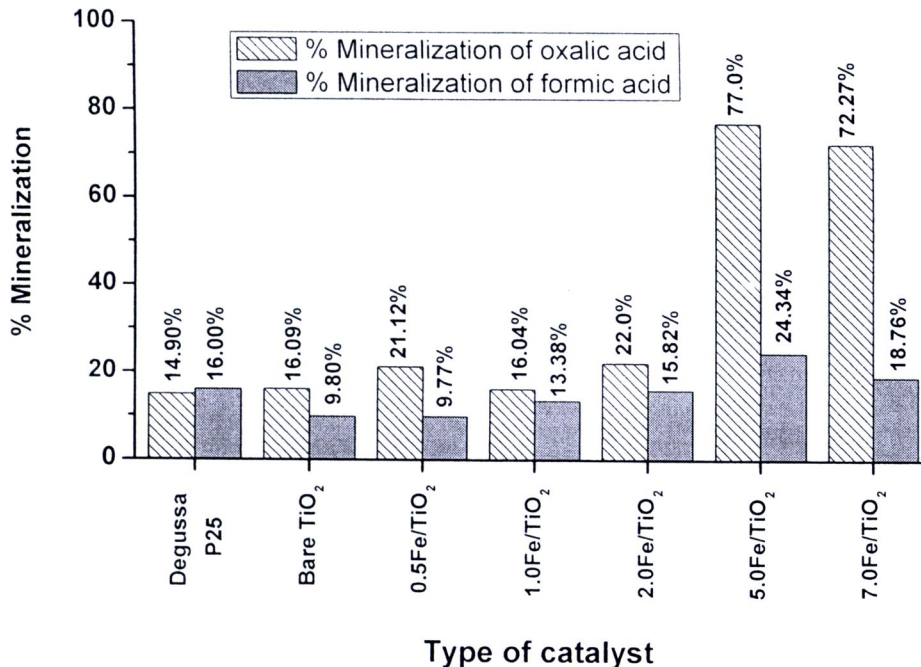
ตาราง 4.16 ข้อมูลปรับเทียบปริมาณความเข้มข้นของกรดออกซิลิก

Amount of carbon (μg)	$\ln(C)$	Conductivity (k , $\mu\text{S}/\text{cm}$) (Initial value $k = 0.83$)	delta k	$\ln(k)$	$\ln(\Delta k)$
100	4.605	1.241	0.411	0.215	-0.889
300	5.704	1.848	1.018	0.614	0.018
500	6.215	2.177	1.347	0.778	0.298
700	6.551	2.436	1.606	0.890	0.473
1000	6.908	2.801	1.971	1.030	0.679



รูป 4.26 Calibration curve สำหรับหัวตรวจวัดปริมาณการ์บอน

4.8.1 ผลการวิเคราะห์ความสามารถในการเร่งปฏิกิริยาด้วยแสงของไทเทเนียมไดออกไซด์ที่เจือด้วยเหล็ก

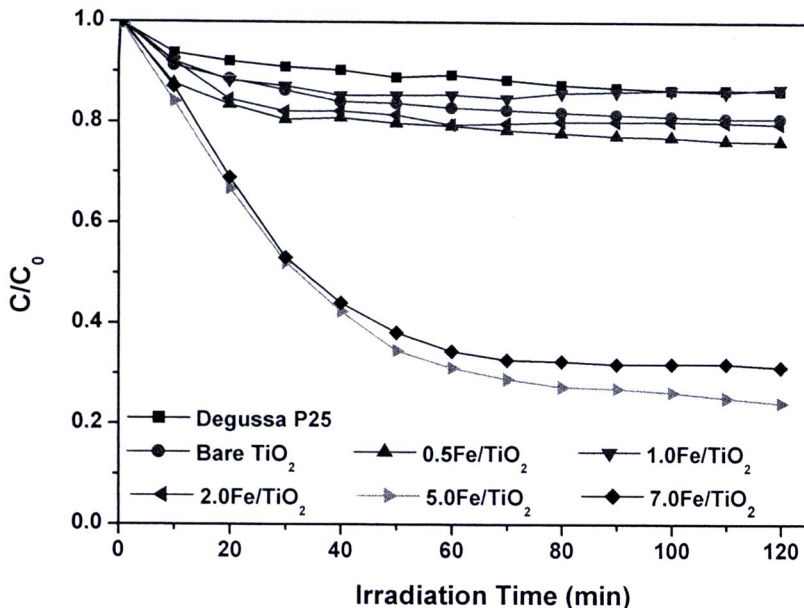


รูป 4.27 กราฟแสดงความสัมพันธ์ระหว่างเปอร์เซ็นต์การย่อยสลายกรดออกชาลิกและกรดฟอร์มิกกับตัวเร่งปฏิกิริยาด้วยแสง ไทเทเนียมไดออกไซด์ ไทเทเนียมไดออกไซด์ที่เจือด้วยเหล็ก และไทเทเนียมไดออกไซด์ทางการค้า (Degussa P25) ภายใต้แสงวิสิเบิลเป็นเวลา 120 นาที

รูป 4.27 แสดงความสัมพันธ์ระหว่างเปอร์เซ็นต์การย่อยสลายกับตัวเร่งปฏิกิริยาด้วยแสง ไทเทเนียมไดออกไซด์ ไทเทเนียมไดออกไซด์ที่เจือด้วยเหล็ก และ ไทเทเนียมไดออกไซด์ทางการค้า (Degussa P25) ภายใต้แสงวิสิเบิลเป็นเวลา 120 นาที

ในกรณีการทดสอบการย่อยสลายด้วยกรดออกชาลิก แสดงให้เห็นว่าตัวเร่งปฏิกิริยาที่ดีที่สุดคือ ไทเทเนียมไดออกไซด์ที่เจือด้วยเหล็กร้อยละ 5 โดยจะต่ำกว่าโดยประมาณ โดยสามารถย่อยสลายกรดออกชาลิกได้ 77.0 % ซึ่งมีประสิทธิภาพดีกว่า ไทเทเนียมไดออกไซด์บริสุทธิ์ และ ไทเทเนียมไดออกไซด์ทางการค้า (Degussa P25) ที่มีประสิทธิภาพในการย่อยสลายกรดออกชาลิกเท่ากับ 16.1% และ 14.9% ตามลำดับ เมื่อเพิ่มปริมาณการเจือเหล็กเป็นร้อยละ 7 โดยจะต่ำกว่าโดยประมาณ พนว่าประสิทธิภาพในการย่อยสลายกรดออกชาลิกลดลงเหลือ 72.3% เมื่อนำความเข้มข้นของปริมาณคาร์บอนที่เวลา

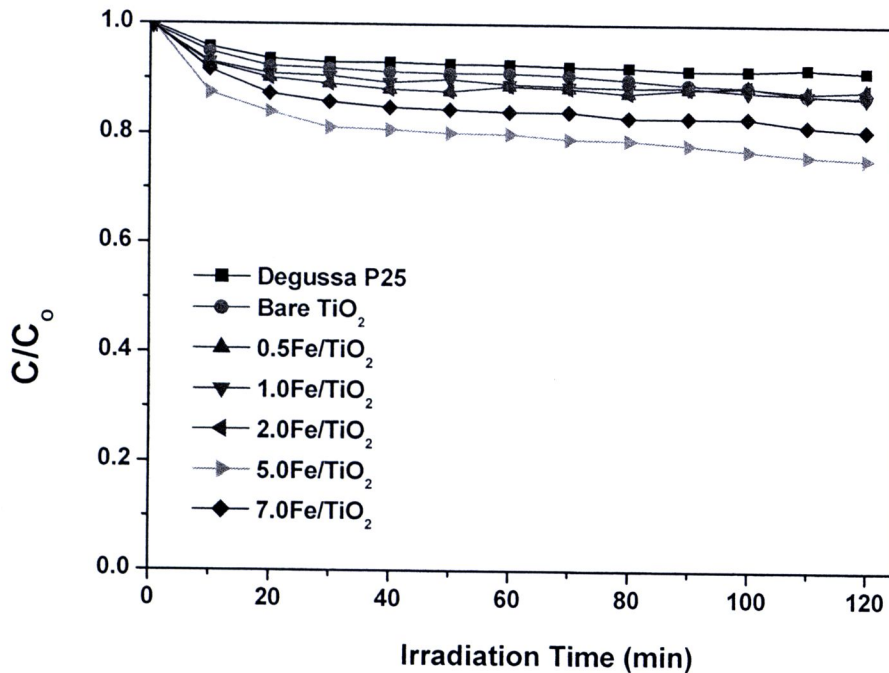
ต่างๆ ต่อปริมาณสารบอนเริ่มต้นคือ $500 \mu\text{g C}$ (C/C_0) มาเขียนความสัมพันธ์กับเวลาในการฉายด้วยแสงวิศิเบิล สามารถเขียนเป็นความสัมพันธ์ได้ดังรูป 4.28 แสดงให้เห็นว่าที่เวลาในการฉายด้วยแสงวิศิเบิลเพิ่มขึ้นความเข้มข้นของ C/C_0 ของไทดีเจเนียมไดออกไซด์ที่เจือด้วยเหล็กอยู่ละ 5.0 โดยจะลดลงมีการลดลงต่ำที่สุด



รูป 4.28 กราฟแสดงความสัมพันธ์ของ C/C_0 กับเวลาที่ใช้ในการฉายแสง ของตัวเร่งปฏิกิริยาด้วยแสงไทดีเจเนียมไดออกไซด์ ไทดีเจเนียมไดออกไซด์ที่เจือด้วยเหล็ก และไทดีเจเนียมไดออกไซด์ทางการค้า (Degussa P25) ในการย่อยสลายกรดออกซิลิก ภายใต้แสงวิศิเบิลเป็นเวลา 120 นาที

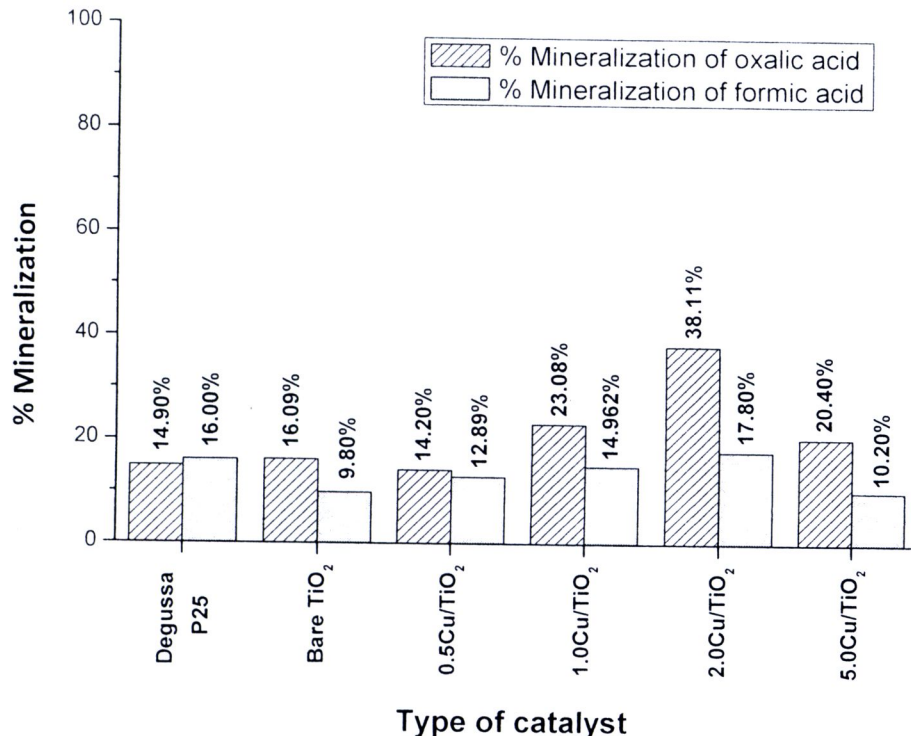
ส่วนในกรณีการทดสอบการย่อยสลายด้วยกรดฟอร์มิก แสดงให้เห็นว่าตัวเร่งปฏิกิริยาที่ดีที่สุดคือ ไทดีเจเนียมไดออกไซด์ที่เจือด้วยเหล็กอยู่ละ 5 โดยจะลดลงโดยสามารถย่อยสลายกรดฟอร์มิกได้ 24.3 % ซึ่งมีประสิทธิภาพดีกว่าไทดีเจเนียมไดออกไซด์ (Bare TiO_2) และไทดีเจเนียมไดออกไซด์ทางการค้า (Degussa P25) ที่มีประสิทธิภาพในการย่อยสลายกรดฟอร์มิกเท่ากับ 9.80% และ 16.0% ตามลำดับ เมื่อเพิ่มปริมาณการเจือเหล็กเป็นร้อยละ 7 โดยจะลดลงพบร่วมกับประสิทธิภาพในการย่อยสลายกรดฟอร์มิกลดลงเหลือ 18.8% เมื่อนำความเข้มข้นของปริมาณสารบอนเริ่มต้นที่เวลาต่างๆ ต่อปริมาณสารบอนเริ่มต้นคือ $500 \mu\text{g C}$ (C/C_0) มาเขียนความสัมพันธ์กับเวลาในการฉายด้วยแสงวิศิเบิล สามารถเขียนเป็นความสัมพันธ์ได้ดังรูป 4.29 แสดงให้เห็นว่าที่เวลาในการฉายด้วยแสงวิศิ

เบิลเพิ่มขึ้นความเข้มข้นของ C/C_0 ของไทเทเนียมไดออกไซด์ที่เจือคัวยเหล็กอย่าง 5.0 โดยอะตอมมีการลดลงต่ำที่สุด



รูป 4.29 กราฟแสดงความสัมพันธ์ของ C/C_0 กับเวลาที่ใช้ในการฉายแสง ของตัวเร่งปฏิกิริยาคัวยแสงไทเทเนียมไดออกไซด์ ไทเทเนียมไดออกไซด์ที่เจือคัวยเหล็ก และไทเทเนียมไดออกไซด์ทั้งการค้า (Degussa P25) ใน การย่อยสลายกรดฟอร์มิก ภายใต้แสงวิสิเบิลเป็นเวลา 120 นาที

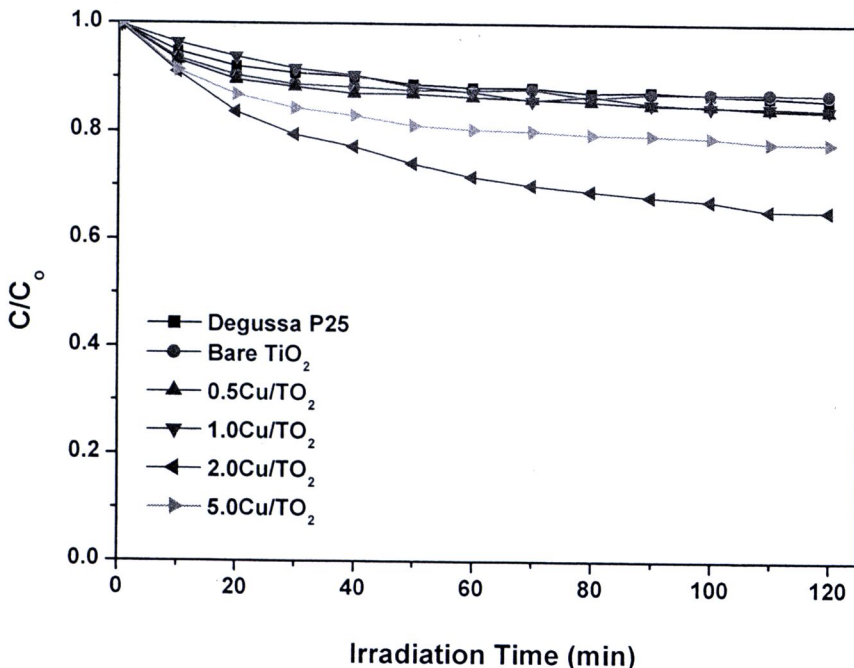
4.8.2 ผลการวิเคราะห์ความสามารถในการเร่งปฏิกิริยาด้วยแสงของไทเทเนียมไดออกไซด์ที่เจือด้วยทองแดง



รูป 4.30 กราฟแสดงความสัมพันธ์ระหว่างเปอร์เซ็นต์การย่อยสลายกรดออกชาลิกและกรดฟอร์มิกกับตัวเร่งปฏิกิริยาด้วยแสง ไทเทเนียมไดออกไซด์ ไทเทเนียมไดออกไซด์ที่เจือด้วยทองแดง และ ไทเทเนียมไดออกไซด์ทั่วไป (Degussa P25) ภายใต้แสงวิสิเบิลเป็นเวลา 120 นาที

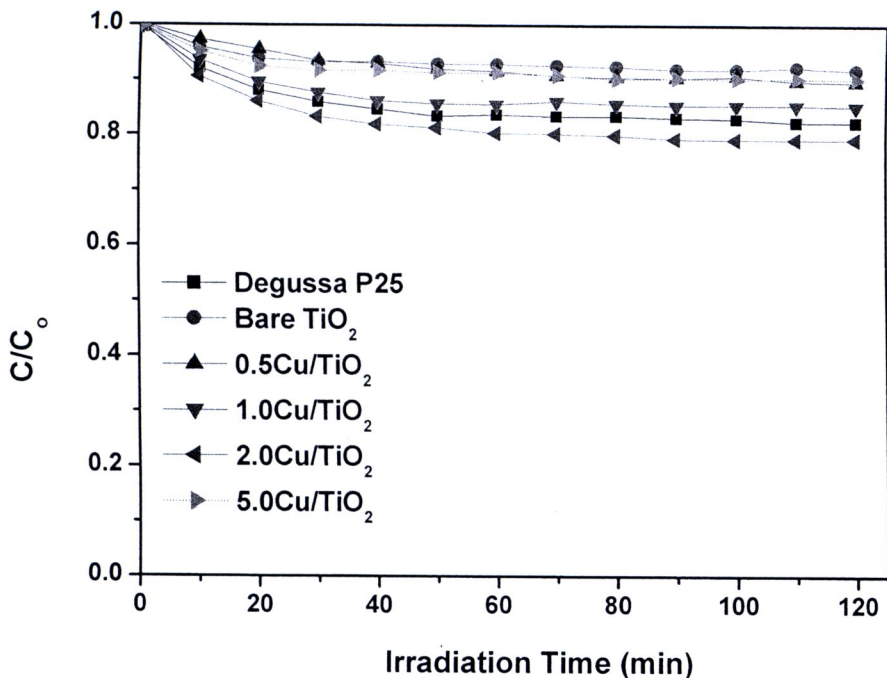
จากรูป 4.30 แสดงความสัมพันธ์ระหว่างเปอร์เซ็นต์การย่อยสลายกับตัวเร่งปฏิกิริยาด้วยแสง ไทเทเนียมไดออกไซด์ ไทเทเนียมไดออกไซด์ที่เจือด้วยทองแดง และ ไทเทเนียมไดออกไซด์ทั่วไป (Degussa P25)

ในกรณีการทดสอบการย่อยสลายด้วยกรดออกชาลิก แสดงให้เห็นว่าตัวเร่งปฏิกิริยาที่ดีที่สุดคือ ไทเทเนียมไดออกไซด์ที่เจือด้วยทองแดงร้อยละ 2 โดยจะต้อง โดยสามารถย่อยสลายกรดออกชาลิกได้ 38.1 % ซึ่งมีประสิทธิภาพดีกว่า ไทเทเนียมไดออกไซด์บิสูฟฟ์ และ ไทเทเนียมไดออกไซด์ทั่วไป (Degussa P25) ที่มีประสิทธิภาพในการย่อยสลายกรดออกชาลิกเท่ากับ 16.1% และ 14.9% ตามลำดับ เมื่อเพิ่มปริมาณการเจือทองแดงเป็นร้อยละ 5 โดยจะต้องพบว่า ประสิทธิภาพในการย่อยสลายกรดออกชาลิกลดลงเหลือ 20.4%



รูป 4.31 กราฟแสดงความสัมพันธ์ของ C/C_0 กับเวลาที่ใช้ในการฉายแสง ของตัวเร่งปฏิกิริยาด้วยแสงไหเทเนียม ไดออกไซซ์ดี ไหเทเนียม ไดออกไซซ์ดีที่เจือด้วยทองแดง และไหเทเนียม ไดออกไซซ์ดีทางการค้า (Degussa P25) ในการย่อยสลายกรดออกซาลิก ภายใต้แสงวิสิเบิลเป็นเวลา 120 นาที

ในกรณีการทดสอบการย่อยสลายด้วยกรดฟอร์มิก แสดงให้เห็นว่าตัวเร่งปฏิกิริยาที่ดีที่สุด คือ ไหเทเนียม ไดออกไซซ์ดีที่เจือด้วยทองแดงร้อยละ 2 โดยจะลดลงโดยประมาณ โดยสามารถย่อยสลายกรดฟอร์มิกได้ 17.8% ซึ่งมีประสิทธิภาพดีกว่าไหเทเนียม ไดออกไซซ์ดีบริสุทธิ์ และไหเทเนียม ไดออกไซซ์ดีทางการค้า (Degussa P25) ที่มีประสิทธิภาพในการย่อยสลายกรดฟอร์มิกเท่ากับ 16.1% และ 14.1% ตามลำดับ เมื่อเพิ่มปริมาณการเจือด้วยทองแดงเป็นร้อยละ 5 โดยจะลดลง พนท. ประสิทธิภาพในการย่อยสลายกรดฟอร์มิกลดลงเหลือ 10.2% เมื่อนำความเข้มข้นของปริมาณกรดบ่อนที่เวลาต่างๆ ต่อปริมาณกรดบ่อนเริ่มต้นคือ $500 \mu\text{g C}$ (C/C_0) มาเทียบความสัมพันธ์กับเวลาในการฉายด้วยแสงวิสิเบิล สามารถเปลี่ยนเป็นความสัมพันธ์ได้ดังรูป 4.32 แสดงให้เห็นว่าที่เวลาในการฉายด้วยแสงวิสิเบิลเพิ่มขึ้นความเข้มข้นของ C/C_0 ของไหเทเนียม ไดออกไซซ์ดีที่เจือด้วยทองแดงร้อยละ 2.0 โดยจะลดลงมีการลดลงค่อนข้างมาก



รูป 4.32 กราฟแสดงความสัมพันธ์ของ C/C_0 กับเวลาที่ใช้ในการฉายแสง ของตัวเร่งปฏิกิริยาด้วยแสงไหเทเนียม ไดออกไซซ์ด ไหเทเนียม ไดออกไซด์ที่เจือด้วยทองแดง และไหเทเนียม ไดออกไซด์ทำการค้า (Degussa P25) ในการย่อยสลายกรดฟอร์มิก ภายใต้แสงวิศิเบิลเป็นเวลา 120 นาที

จากการทดสอบประสิทธิภาพการเร่งปฏิกิริยาด้วยแสงของอนุภาคนano ไหเทเนียม ไดออกไซด์ และอนุภาคนano ไหเทเนียม ไดออกไซด์ที่เจือด้วยเหล็กและทองแดง มีปัจจัยต่างๆ ที่ส่งผลต่อประสิทธิภาพสำหรับการเร่งปฏิกิริยา เช่น โครงสร้างเฟส ค่า pH ของไหเทเนียม ไดออกไซด์ ขนาดอนุภาค พื้นที่ผิวจำเพาะ และช่องว่างพลังงาน ดังจะเห็นในกรณีของตัวเร่งปฏิกิริยา ด้วยแสง ไหเทเนียม ไดออกไซด์ที่เจือด้วยเหล็กร้อยละ 5.0 โดยจะเห็น น้ำมีพื้นอนุภาคขนาดเล็กซึ่งให้พื้นที่ผิวสูงกว่าตัวเร่งปฏิกิริยาตัวอื่น อีกทั้งยังมีແสนช่องว่างพลังงานต่ำกว่าตัวเร่งปฏิกิริยาตัวอื่น เช่นเดียวกับกรณีของตัวเร่งปฏิกิริยาด้วยแสง ไหเทเนียม ไดออกไซด์ที่เจือด้วยทองแดง น้ำมีແสนช่องว่างพลังงานที่ต่ำ มีขนาดอนุภาคเฉลี่ยเล็กกว่าตัวเร่งปฏิกิริยาตัวอื่น และค่า pH = 3 เป็นค่าที่ตัวเร่งปฏิกิริยาด้วยแสง ไหเทเนียม ไดออกไซด์อยู่ในสภาพที่เหมาะสมที่สุดสำหรับการเป็นตัวเร่งปฏิกิริยาด้วยแสง

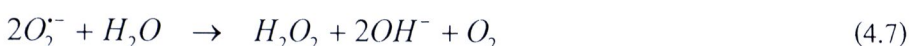
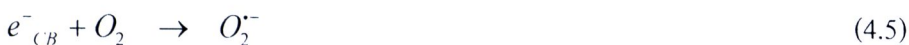
การที่ตัวเร่งปฏิกิริยาด้วยแสงน้ำมีແسنช่องว่างพลังงานที่ต่ำทำให้สามารถใช้พลังงานต่ำอยู่ในช่วงของแสงวิศิเบิลมากกระตุนให้เกิดการเร่งปฏิกิริยาได การที่เจือด้วยเหล็กและทองแดงเข้าไป

ในไทยเนี่ยม ได้ออกใช้ดันน์สามารถลดแอบช่องว่างพลังงาน ได้เนื่องจากมีการสร้างແນบพลังงาน ย่อยของของเหล็กและทองแดง ในโครงสร้างของไทยเนี่ยม ได้ออกใช้ ทำให้สามารถใช้พลังงาน ที่ต่ำเพื่อกระตุนให้อิเล็กตรอนจากชั้นวาเลนซ์เคลื่อนที่ไปยังແນบพลังงานย่อยก่อนที่จะเคลื่อนที่ไป ยังชั้นการนำ นอกจากนั้นเหล็กและทองแดงที่เจือเข้าไปในไทยเนี่ยม ได้ออกใช้ดันน์ยังสามารถไป เกาะที่ผิวของไทยเนี่ยม ได้ออกใช้ได้ด้วยชิ่งช่วยทำหน้าที่เป็นตัวดักจับอิเล็กตรอนไว้ที่ผิวของ ไทยเนี่ยม ได้ออกใช้เพื่อลดการเกิดการรวมตัวกันใหม่ของอิเล็กตรอนกับไฮด์ สามารถทำให้ ปฏิกิริยานี้เกิดขึ้นได้นาน

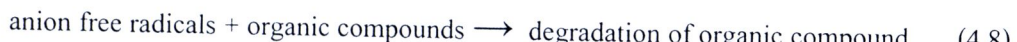
การเกิดการเร่งปฏิกิริยาด้วยแสงในการย่อยสลายสารประกอบอินทรีย์ในสารละลายของ ตัวเร่งปฏิกิริยาด้วยแสง เริ่มจากการที่สารกึ่งตัวนำไทยเนี่ยม ได้ออกใช้ดูดพลังงานจากแสง กระตุ้น แล้วเกิดการสร้างคู่อิเล็กตรอนและไฮด์ที่ผิวของสารกึ่งตัวนำไทยเนี่ยม ได้ออกใช้ดัง สมการที่ที่ 4.1 แล้วเกิดปฏิกิริยาออกซิเดชันที่ชั้นวาเลนซ์โดยไฮด์ และปฏิกิริยาเรดักชันที่ชั้นการนำ โดยอิเล็กตรอน ในปฏิกิริยานี้สามารถเกิดปฏิกิริยาออกซิเดชันได้โดยตรงของสารประกอบ อินทรีย์เนื่องจากเกิดไฮด์ที่ชั้นวาเลนซ์ของตัวเร่งปฏิกิริยาด้วยแสง ดังสมการที่ที่ 4.2 และปฏิกิริยาที่ เกิดขึ้นอีกทางคือการสร้างอนุมูลอิสระมายอยสลายสารประกอบอินทรีย์ ได้แก่ ไฮด์ที่ชั้นวาเลนซ์ ทำปฏิกิริยากับน้ำแล้วเกิดเป็นไฮดรอกซิลเรดิคอล (OH^-) แสดงดังสมการที่ที่ 4.3 ไฮด์ที่ชั้นวาเลนซ์ทำปฏิกิริยากับไฮดรอกซิลออกไซด์อ่อน (OH^-) เกิดเป็นไฮดรอกซิลเรดิคอล (OH^-) แสดงดัง สมการที่ที่ 4.4



ที่ชั้นการนำของสารกึ่งตัวนำไทยเนี่ยม ได้ออกใช้ อิเล็กตรอนทำปฏิกิริยากับออกซิเจน ในน้ำแล้วเกิดเป็นชูปเปอร์ออกไซด์เรดิคอล (O_2^-) ซึ่งแสดงในสมการที่ที่ 4.5 ซึ่งชูปเปอร์ ออกไซด์เรดิคอลก็อาจทำปฏิกิริยากับสารอินทรีย์แล้วสร้างเปอร์ออกไซด์ของสารอินทรีย์ ดังสมการ ที่ที่ 4.6 หรือสร้างไฮดรเจนเปอร์ออกไซด์ ดังสมการที่ที่ 4.7



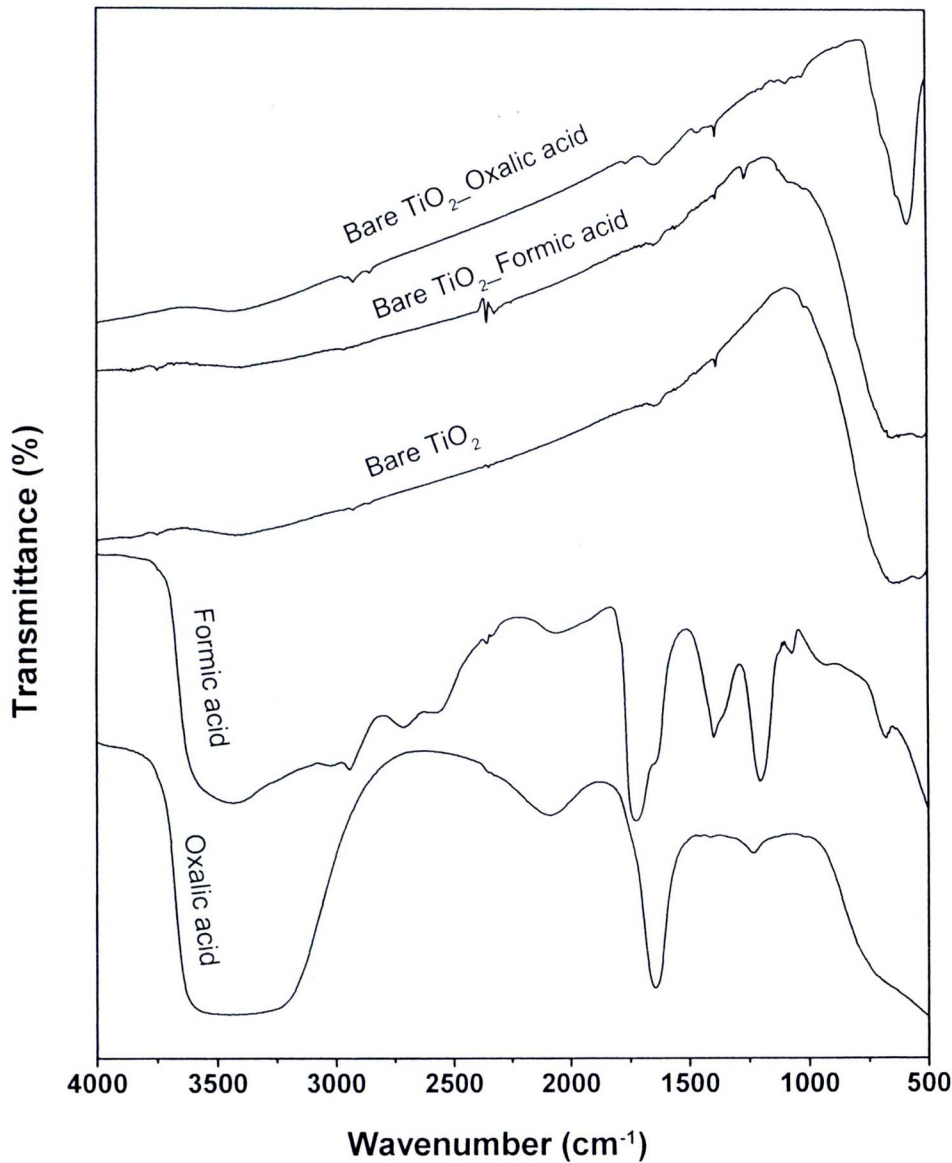
สำหรับในกระบวนการข้อยสลายนั้นอนุមูลอิสระจะทำปฏิกิริยากับสารประกอบอินทรีย์แล้วเกิดปฏิกิริยาการย่อยสลาย ดังสมการที่ที่ 4.8 และผลิตภัณฑ์สุดท้ายจากปฏิกิริยาคือ น้ำและแก๊สคาร์บอนไดออกไซด์ ดังแสดงในสมการที่ที่ 4.9



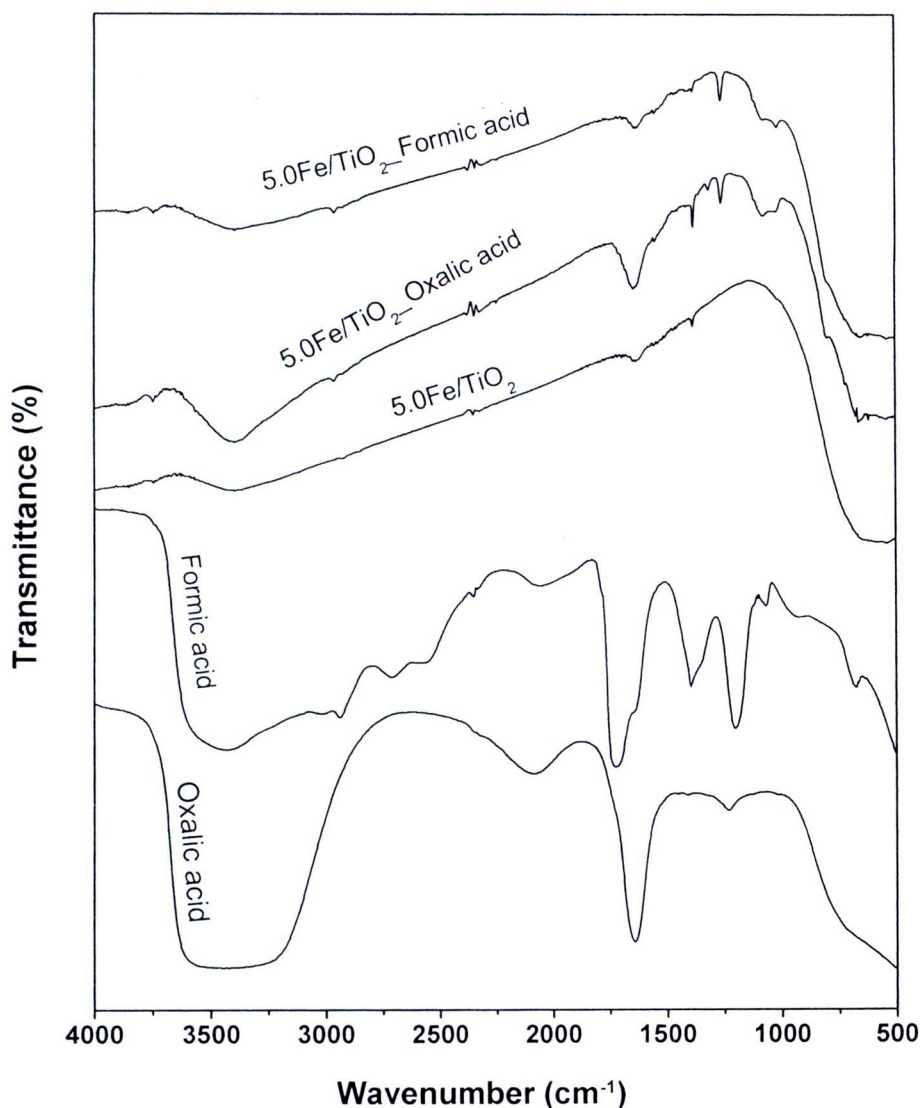
4.8 ผลการวิเคราะห์โดยเทคนิคฟรีเวย์ทรายสเปกตรอฟาร์ดสเปกโตรสโคปี (Fourier transform infrared spectrophotometry, FT-IR)

ในการวิเคราะห์ด้วยเทคนิค FT-IR ได้เลือกทำการวิเคราะห์ไทดเนียม ไดออกไซด์ที่เจือด้วยเหล็กและทองแดงที่มีประสิทธิภาพสูงสุดในการข้อยสลายกรดออกชาลิกและกรดฟอร์มิกเปรียบเทียบกับไทดเนียม ไดออกไซด์บริสุทธิ์ ซึ่งไทดเนียม ไดออกไซด์ที่เจือด้วยเหล็กร้อยละ 5.0 โดยอะตอม และไทดเนียม ไดออกไซด์ที่เจือด้วยทองแดงร้อยละ 2.0 โดยอะตอม เป็นตัวเร่งปฏิกิริยาที่มีประสิทธิภาพสูงสุด ผลของสเปกตัรัม FT-IR ได้แสดงดังรูป 4.27–4.29 และสามารถสรุปชนิดของการสั่นของโมเลกุลที่เป็นลักษณะเฉพาะของกรดออกชาลิกและกรดฟอร์มิกแสดงได้ดังตาราง 4.15

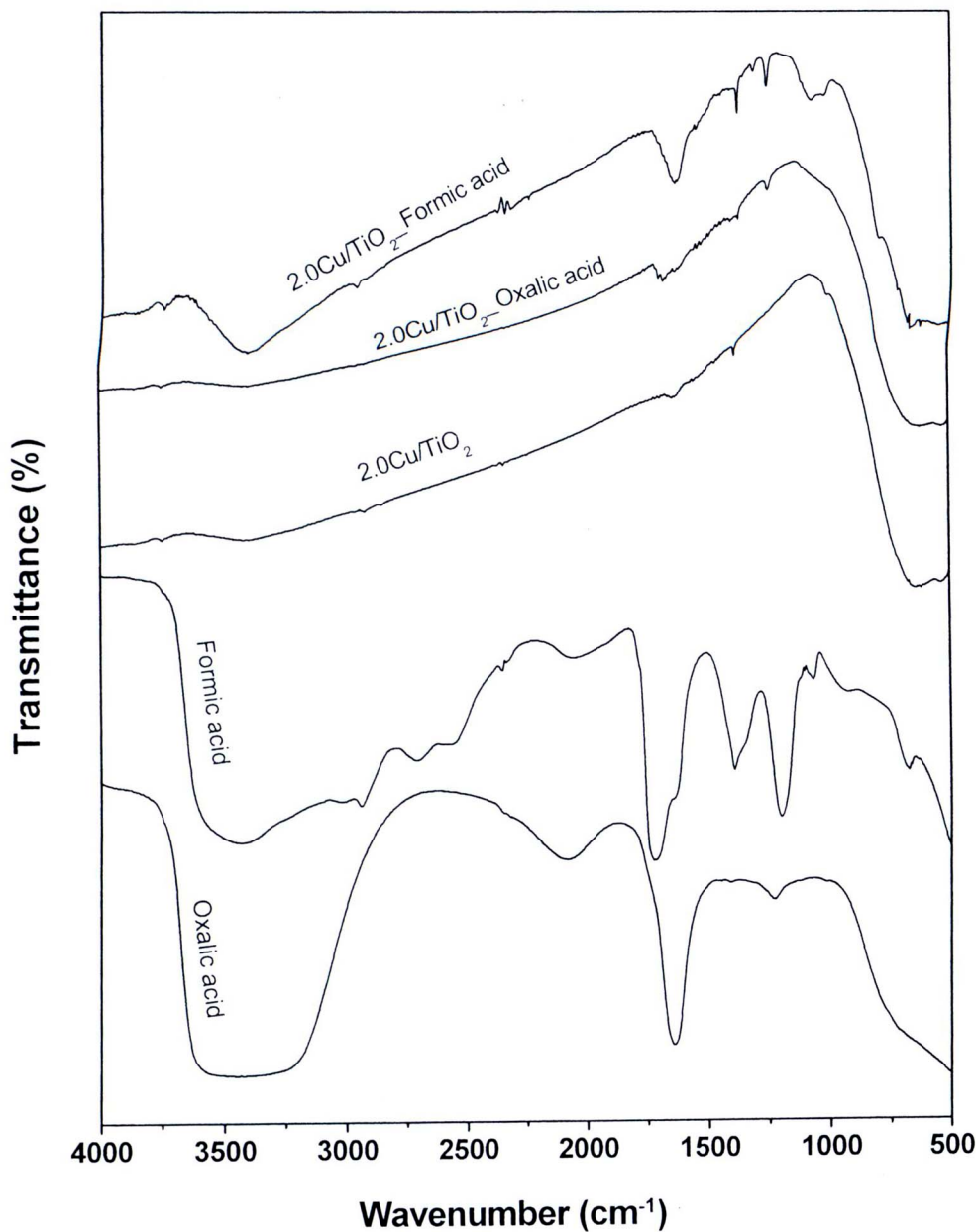
การเพิ่มประสิทธิภาพในการเร่งปฏิกิริยาของตัวเร่งปฏิกิริยาด้วยแสงในการข้อยสลายสารประกอบอินทรีย์ สำหรับไทดเนียม ไดออกไซด์ที่เจือด้วยเหล็กและทองแดงนั้นจะเกิดสารประกอบเชิงซ้อนเกิดขึ้นคือ Fe-oxalate, formate และ Cu-oxalate, formate



รูป 4.33 FT-IR สเปกตรารของไทด์เนียมไดออกไซด์บริสุทธิ์, ไทด์เนียมไดออกไซด์บริสุทธิ์ที่ทำปฏิกิริยากับกรดօอกชาลิกและกรดฟอร์มิก เปรียบเทียบกับ FT-IR สเปกตรารของกรดօอกชาลิกและกรดฟอร์มิก



รูป 4.34 FT-IR สเปกตรารของไทดเนียมไ/do/o กไซดที่เจือดวยเหล็กร้อยละ 5 โดยอัตโนมและไทดเนียมไ/do/o กไซดที่เจือดวยเหล็กร้อยละ 5 โดยอัตโนม ที่ทำปฏิกิริยา กับกรดออกชาลิก และกรดฟอร์มิก เปรียบเทียบกับ FT-IR สเปกตรารของกรดออกชาลิกและกรดฟอร์มิก



รูป 4.35 FT-IR สเปกตราราบของไทเทเนียมไดออกไซด์ที่เจือด้วยทองแดงร้อยละ 2 โดยอะตอม และไทเทเนียมไดออกไซด์ที่เจือด้วยทองแดงร้อยละ 2 โดยอะตอม ที่ทำปฏิกิริยา กับกรดออกซิลิก และกรดฟอร์มิก เปรียบเทียบกับ FT-IR สเปกตราราบของกรดออกซิลิกและกรดฟอร์มิก

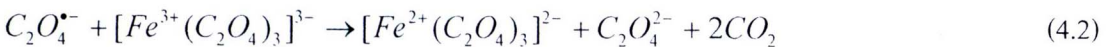
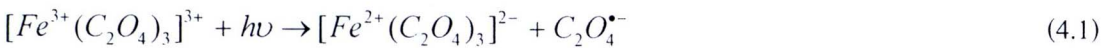
ตาราง 4.17 สรุปความถี่และชนิดของการสั่นในอินฟารेडสเปกตรัมของกรดออกชาลิกและกรดฟอร์มิก

เลขค่าถี่น (cm^{-1})	ชนิดของการสั่น
กรดออกชาลิก	
3700 – 2500	O-H stretch, very broad
1740 – 1680	C=O stretch
1440 – 1395	C-O-H in plane bending
1280 – 1160	C-O, stretch, strong
กรดฟอร์มิก	
3700 – 2500	O-H stretch
1724 – 1722	C=O stretch
1214 – 1185	C-O, stretch, strong
1066	CO-OH

FT-IR สเปกตราในรูป 4.33–4.35 แสดงชนิดของการสั่นของโนมเลกูลได้ตามช่วงของเลขค่าถี่นดังที่สรุปในตาราง 4.15 แสดงชนิดของการของกรดออกชาลิกและกรดฟอร์มิก การเกิดพีคที่เลขค่าถี่น 3700–2500 cm^{-1} เป็นพีคที่เกิดขึ้นเนื่องจากการสั่นของโนมเลกูลของน้ำที่เกาะอยู่กับตะกอนซึ่งสังเกตได้จากทุกตัวอย่างของตัวเร่งปฏิกิริยา ลักษณะพีคจะกว้าง สำหรับการอธิบายถึงประสิทธิภาพของตัวเร่งปฏิกิริยาด้วยแสงในการย่อยสลายสารประกอบอินทรีย์นั้น พีคที่สนใจจะเกิดขึ้นที่เลขค่าถี่น 1690–1080 cm^{-1} ซึ่งเกิดจากการสั่นของโนมเลกูลเนื่องจากการเกิดสารประกอบเชิงช้อนระหว่างโลหะกับออกชาเลตอิโอนและฟอเมตอิโอนที่ผิวของตัวเร่งปฏิกิริยา

จากการศึกษาจากงานวิจัยที่ผ่านมา โดยทั่วไปสถานะของเหล็กและทองแดงจะอยู่ในรูป Fe^{3+} และ Cu^{2+} เมื่อศึกษาถึงความสามารถการเร่งปฏิกิริยาในการย่อยสลายสารประกอบอินทรีย์นั้น การเกิดสารประกอบเชิงช้อนของ $\text{Fe}^{3+}/\text{formate}$, $\text{Fe}^{3+}/\text{oxalate}$ และ $\text{Cu}^{2+}/\text{formate}$, $\text{Cu}^{2+}/\text{oxalate}$ นั้นแสดงถึงมีการสร้างอนุมูลอิสระในปฏิกิริยาการย่อยสลาย สำหรับการสร้างอนุมูลอิสระจากการเกิดสารประกอบเชิงช้อนของ $\text{Fe}^{3+}/\text{oxalate}$ เกิดขึ้นเนื่องจากผิวของตัวเร่งปฏิกิริยาถูกกระตุ้นด้วยแสง ทำให้ออกชาเลตเดคิโอล ($\text{C}_2\text{O}_4^{2-}$) เคลือนที่ออกจากผิวของตัวเร่งปฏิกิริยาแล้วเกิดการสั่นจากนั้น ($\text{C}_2\text{O}_4^{2-}$) จะทำปฏิกิริยากับออกซิเจนเกิดเป็นชูปเปอร์ออกไซด์เดคิโอล ($\text{O}_2^{\bullet-}$) และแก๊สคาร์บอนไดออกไซด์ (CO_2) ซึ่งชูปเปอร์ออกไซด์เดคิโอลเป็นตัวออกซิแคนท์ในปฏิกิริยาการย่อย

ถลวยสารประกอบอินทรีย์ ชูปเปอร์ออกไซด์เรดิคอลที่เกิดขึ้นเมื่อทำปฏิกิริยา กับน้ำขังสามารถแตกตัวเป็นไฮดรอกซิลเรดิคอลซึ่งเป็นตัวออกซิเดนท์ที่แรง ได้ด้วยทำให้ความสารมารถในการย่อยถลวยสารประกอบอินทรีย์มีประสิทธิภาพสูงขึ้น ปฏิกิริยาการสร้างอนุมูลอิสระจากการเกิดสารประกอบเชิงช้อน $\text{Fe}^{3+}/\text{oxalate}$ และคงดังสมการที่ที่ 4.1–4.3 [44]



ส่วนการเกิดปฏิกิริยาของ $\text{Fe}^{3+}/\text{formate}$ เกิดขึ้นได้ดังสมการที่ที่ 4.4–4.5 [45] อนุญาติสร้างที่เกิดขึ้นในปฏิกิริยาคือ เปอร์ไซครอกซิลเรดิกออล (HO_2^{\bullet})



สำหรับปฏิกิริยาของ $\text{Cu}^{2+}/\text{formate}$ และ $\text{Cu}^{2+}/\text{oxalate}$ นั้นเกิดขึ้นเช่นเดียวกันกับกรณีของ $\text{Fe}^{3+}/\text{formate}$ และ $\text{Fe}^{3+}/\text{oxalate}$ การสร้างอนุมูลอิสระซึ่งเป็นตัวออกซิเดนซ์ได้จำนวนมากในปฏิกิริยาการเร่งด้วยแสง แสดงให้เห็นว่าตัวเร่งปฏิกิริยานั้นมีความสามารถในการย่อยสลายสารประกอบอินทรีย์ได้ดี ซึ่งเมื่อเปรียบเทียบระหว่างตัวเร่งปฏิกิริยาด้วยแสง ไทเทเนียม ไดออกไซด์ที่เจือด้วยเหล็กร้อยละ 5.0 โดยอะตอม ไทเทเนียม ไดออกไซด์ที่เจือด้วยทองแดงร้อยละ 2.0 โดยอะตอม และไทเทเนียม ไดออกไซด์บริสุทธิ์ พบร่วงที่ตำแหน่งพีก $1690-1080 \text{ cm}^{-1}$ ซึ่งเป็นตำแหน่งพีกของการสั่นเนื่องจากปฏิกิริยาของโลหะทรานซิชันกับออกชาเลตและฟอร์เมต ในกรณีของไทเทเนียม ไดออกไซด์ที่เจือด้วยเหล็กร้อยละ 5.0 โดยอะตอม มีความเข้มพีกสูงกว่าไทเทเนียม ไดออกไซด์ที่เจือด้วยทองแดงร้อยละ 2.0 โดยอะตอม และไทเทเนียม ไดออกไซด์บริสุทธิ์ ดังนั้นปฏิกิริยาของโลหะทรานซิชันกับออกชาเลตและฟอร์เมตจึงเกิดขึ้นได้มากกว่า และมีการสร้างไสครอกซิลเรดิกอลได้จำนวนมากกว่า ส่วนไทเทเนียม ไดออกไซด์ที่เจือด้วยเหล็กร้อยละ 5.0 โดยอะตอม มีประสิทธิภาพในการย่อยสลายกรดออกชาลิกและกรดฟอร์มิก ได้คิดว่าไทเทเนียม ไดออกไซด์ที่เจือด้วยทองแดงร้อยละ 2.0 โดยอะตอม และไทเทเนียม ไดออกไซด์บริสุทธิ์